

2742

İSTANBUL TEKNİK ÜNİVERSİTESİ • FEN BİLİMLERİ ENSTİTÜSÜ

**YAPAY DOLAŞIM SİSTEMİ
VE MODELLEMESİ**

(DOKTORA TEZİ)

Yük. Müh. Mehmet KORÜREK

Tezin Enstitüye Verildiği Tarih : 22 Nisan 1986

Tezin Savunulduğu Tarih : 23 Eylül 1986

Tez Danışmanı : Prof. Hasan ÖNAL

Diğer Jüri Üyeleri : Prof. Dr. Hasan Fehmi YAZICI

Prof. Dr. Ertuğrul YAZGAN

NİSAN 1986

**T. C.
Yükseköğretim Kurulu
Antalya Devlet Üniversitesi
Merkezi**

İÇİNDEKİLER

ÖZET

YABANCI DİLDE ÖZET- SUMMARY

KULLANILAN BASLICA SEMBOLLER

1. BÖLÜM - GİRİŞ

2. BÖLÜM - TEORİK İNCELEME

2.1. Elektriksel Esdeger Model

2.2. Model Parametrelerinin Belirlenmesi

2.2.1. R_2 Parametresinin Belirlenmesi

2.2.2. C_1 , C_2 , L_1 Parametrelerinin Belirlenmesi

2.2.2.1. Genel Açıklama

2.2.2.2. a, b Parametre Çiftine ilk Yaklaşım

2.2.2.3. a-h Parametrelerinin Belirlenmesi

2.2.2.4. C_1 , C_2 , L_1 , R_2 Parametrelerinin en son elde edilen Değerleri

Sayfa

I

III

IX

1

8

15

15

16

16

18

19

22

26

26

29

30

30

32

3. BÖLÜM - POMPA VE SÜRÜCÜ DÜZEN

35

3.1. Pompa

35

3.2. Pistonun Yer Değiştirme Hareketinin Zamana Göre Değişimi

37

3.3. Adım Motoruna Uygulanan İşaretin Frekansının Değişimi

38

4. BÖLÜM - MIKROİŞLEMÇİ İLE KONTROL

42

4.1. Mikroişlemci

42

4.2. Program "Logic"

43

5. BÖLÜM - HİDROLİK ELEMANLAR VE HİDROLİK ÖLÇÜMLER

46

5.1. Hidrolik Parametrelerin Belirlenmesi

47

5.2. Anlık Basınç ve Debi Ölçme Düzenleri

55

5.3. Yapay Sistem Üzerinde Yapılan Bazı Deneyler

60

6. BÖLÜM - SONUÇLAR

65

7. BÖLÜM - EKLER

68

KAYNAKLAR

93

ÖZGEÇMİŞ

95

ÖZET

Bu tezde, insanın kan dolaşım sistemindeki basınç ve debinin zamana göre değişimleri esas alınarak bir yapay dolaşım sistemi gerçekleştirilmüştür. Bu sistemin ana elemanlarını, sol karıncık görevini gören bir pompa ile aort, kılcal damarlar ve toplardamar görevlerini gören plastik boru parçacıkları oluşturmaktadır. Sistemde gerçekleştirilmek istenen debi ve basınç değişimleri, Schaaf'in (1), bir canlıya ait dolaşım sisteminin matematiksel modelini kurmak için ele aldığı eğrilerden seçilmiştir.

Tezin birinci bölümünde, konuya giriş olarak, çalışmanın amacı açıklanmış ve bu konu ile ilgili başka çalışmalarla olan ilişkisi gösterilmeye çalışılmış ve modelleme ve sistem kurma konularını birbirine bağlayıcı özelliği olması, bu tezin, yapay sistem kurma konusunda yapılan çalışmalar içinde üstünlüğünü ortaya koyduğu savunulmuştur. Bu bölümde ayrıca, şimdide kadar gerçekleştirilen hidromekanik sistemlere göre bu çalışmada gerçekleştirilen sistemin diğer bazı üstünlükleri de anlatılmaya çalışılmıştır. Bu üstünlükler, özet olarak: a) Sistem basit ve ucuzdur. b) Sisteme istenilen şartlar (vurum hızı, vurum hacmi, debi şekli, basınç şekli gibi) kolayca sağlanır ve istenirse değiştirilebilir c) Sistem, anlık debi ve hız ölçülerinin kalibre edilme琳de kullanılabılır.

İkinci bölümde sistemi oluşturmada yardımcı olarak ele alınan elektriksel eşdeğer modele ait parametrelerin belirlenmiş metodu anlatılmıştır. Elektriksel modelde pompa, bir akım kaynağı olarak ele alınmış, aort ise esneme özelliği olduğu ve içinden akan akının ataleti olduğu gözönüne alınarak kapasite ve induktans elemanları (C_1 , C_2 ve L_1) ile ve kılcal damarlar ise çok daha küçük çaplı olduklarından bir direnç elemanı (R_2) ile temsil edilmiştir. Bu tür bir model "Geliştirilmiş Windkessel Modeli" olarak bilinmektedir (3-6). Referans olarak ele alınan hidrolik büyüklükler (debi, basınç), modelde elektriksel büyüklükler (akım, gerilik) karşı düşürülmüş ve bu durumda modelin belli noktalarındaki akım-gerilik değişimleri, istenilen değişimlere eğrisel olarak uyacak şekilde devre parametreleri belirlenmiştir. Eğri uydurmada "En Küçük Kareler" metodu uygulanmış ve bunun için bir dijital bilgisayardan (IBM 4331) yararlanılmıştır. Uydurulan ve referans eğrilerden bir periyodluk süre içinde alınan örneklerin farklarına bir değişken gözü ile bakılıp, standart sapması eğrilerin uygunluğunun bir ölçüsü olarak alınmış ve en küçük karelerle eğri uydurma işlemi sonucunda ele alınan çıkış işaretti için bu sampa 2,8 mmHg olarak bulunmuştur. Yapay sistem, model üzerinde yapılan benzer-

lik çalışmalarından elde edilen bilgilerden yararlanılarak kurulacağından model, sistemi daha iyi inceleme imkanı veren analog bilgisayar (EAI 180) üzerinde de gerçekleştirilmiş ve parametrelerin çıkış büyüklüklerine olan etkileri teker teker incelenmiştir.

Üçüncü bölümde sistemin mekanik kısmı anlatılmıştır. Pompa, pistonu bir mikroişlemci kontrollü adım motoru aracılığı ile ötelemeli olarak hareket ettirlen ve iki kapakçığı olan bir emme basma tulumba gibi çalışmaktadır. Piston, ötelemeli hareketini motordan krant-biyel mekanizması ile almaktadır. Pistonun zamana göre yerdeğişim hareketi, pompanın bir atım sürecindeki debi değişimini belirlemektedir ve bu hareket ise mikroişlemci aracılığı ile kontrol edilmektedir.

Dördüncü bölümde, pistona gelen harenetin mikroişlemci yardımı ile nasıl kontrol edildiği, istenen debi değişimini elde edebilmek için mikroişlemcide kullanılan programın ne olduğu ve bu programa ait verilerin (dataların) nasıl elde edildiği anlatılmıştır. Burada mikroişlemci, adım motoruna uygulanan işaretin frekansını zaman içinde bir program dahilinde değiştirerek motordan, bir atım periyodunda değişik hızlarda dönmesini ve dolayısıyla pompa piston hareketinin darbeli olmasını sağlamaktadır. Pompa çıkışında istenen debi değişimini, mikroişlemcide çalıştırılan programın kullandığı veriler uygun seçilerek kolaylıkla elde edilebilmektedir.

Beşinci bölümde sisteme ait hidrolik elemanlar ve hidrolik ölçmeler anlatılmıştır. Hidrolik elemanların, istenen basınç değişimlerini elde edebilmek için elektriksel modeldeki parametre değerlerine uygun olarak seçildiklerinde, sistemden elde edilen debi ve basınçdeğişimlerinin, elde edilmek istenilenlere ne derece benzediği karşılaşmalıdır olarak verilmiştir. Toplu elemanlar olarak gerçekleştirilmeye çalışılan elemanlar, devre parametrelerinin çıkış büyüklükleriyle ilişkileri ikinci bölümde bilindiğine göre, biliçli olarak ayarlanmaya çalışılmış ve sistemden, uydurulmak istenen referans basınç eğrisi ile arasındaki standart sapma 3,4 mmHg olan bir basınç değişimini elde edilmiştir. Daha sonra model parametrelerinin (C_1 , L_1 , C_2 , R_2) ve kolaylıkla değiştirilebilen vurum hızı, vurum hacmi gibi diğer parametrelerin sistem çıkış büyütüğü üzerindeki etkileri incelenmiştir. Bu bölümde ayrıca debi ölçme düzeni verilmiş ve bu düzenle anlık debi ölçümlü yaparken dikkat edilmesi gereken noktalar açıklanmıştır.

Altıncı bölüm, bir sonuç bölümü olup elde edilen sonuçların bir değerlendirmesini içermektedir.

BÖLÜM 1

GİRİŞ

Yapay sistemler üzerinde yapılan çalışmalar tıpta canlı üzerinde yapılan biyomedikal çalışmalara ilk adım teşkil etmesi bakımından büyük önem taşımaktadır. Deney şartlarının tekrarlanabilmesi, uzun süren deney sürecinde deney şartlarının aynı tutulabilmesi ve istendiğinde şartların kolaylıkla değişirilebilmesi, ölçü düzenlerinin herhangi bir operasyon gerekmeden kolaylıkla ve uzun süre sisteme bağlı tutulabilmesi, yaralama ve deşme gerektirmeyen ölçü düzenlerinin yaralama ve deşme gerektirenlerle kolayca kalibre edilmesi olanağını vermesi, hep bu yapay sistemlerin üstünlüğü olarak karşımıza çıkar. Ayrıca farklı büyülüklülerin aynı anda kolayca ölçülebilmesi gerçek sistemi ve çalışmasını daha iyi anlama olanağını sağlar. Yapay sistemde oluşturulan yapay bozuklukların ölçülen büyülüklüler üzerindeki etkilerinin incelenmesi, daha sonra canlı üzerinde yapılan ölçmelerden bozukluk cinsini ve yerini belirlemeye kolaylık sağlar. Daha da ileriye gidildiğinde yapay sistemlerden elde edilen deneyimlerden yararlanılarak gene aynı yapay sistemler veya onun önemli parçaları sürekli veya geçici olarak hasta organlarının görevlerini görmeleri için kullanılabilirler.

Çok eski zamanlardan beri kalp ve dolaşım sisteminin çalışma şekli bilim adamlarının zihnini yormuştur. 16. yüzyıl başlarında vücudumuzda kapalı bir dolaşım sisteminin varlığı ortaya çıkarılmış (2) ve son iki yüzyıldır da dolaşım sisteminin yapısı, işleyisi ve modellemesi üzerinde çeşitli çalışmalar yapılmış ve hatta yapay olarak bu sistem oluşturulmaya çalışılmıştır (7,9,17, 19). Burada, yapılan bu çalışmaların kronolojik sırasını vermek yerine yakın tarihlerde modelleme ve sistem kurma çalışmaları üzerinde yazılmış makalelerden örnekler verilerek tezin bu çalışmalar arasındaki yeri ortaya konulacaktır.

H.E. Pawel (7), 1974, pistonuna "Kam"¹aracılığı ile darbe verilen bir pompa ve elastik borulardan oluşan bir suni dolaşım sistemi oluşturmuş ve bu

¹ "Kam", bir manivela etki ederek ötelemeli bir darbe hareketi sağlayan ve çevresine elde edilmek istenen darbenin şekline uygun bir profil verilen ve dairesel hareket eden bir disk olarak tanımlanabilir.

sistemde akış hızı ölçmeleri için anemometre kullanarak türbülans (çalkantı) olayını incelemiş ve akış hızına ait işaretin FFT spektrumundan elde edilen bilgilerin damar hastalıkları təşhisinde yararlı olabileceğini vurgulamıştır.

H.E. Pawel ve C. Wilson (8), 1977, kurdukları yapay dolaşım sisteminde anemometre ile ölçüktüleri akış hızı ile haricen kullanılan akustik dönüştürücüden elde ettikleri hız işaretlerini inceleyerek bu işaretlerin sistemin ele alınan bir damar parçacığında yaratılan daralma hakkında bir bilgi taşıdığını belirtmişler ve biri operasyon (cerrahi) gerektiren diğerini gerektirmeyen bu iki hız ölçerden elde ettikleri deney sonuçlarını karşılaştırmalı olarak vermişlerdir.

R. A. Peura ve meslektaşları (9), 1981, yapay olarak kurdukları dolaşım sisteminde yapay olarak oluşturdukları daralma bölgesinde Angioscan adı verilen bir cihaz yardımı ile elde ettikleri Ultrasonik Doppler frekans spektrumunda daralma derecesi ile ilişkili iki parametre belirlemişlerdir. Özellikle beyine giden damarlardaki daralma derecesinin operasyon gerektirmeyen böyle bir sistem ile ölçülebilmesi, felcin zamanında önlenmesinde büyük önem taşımakta olduğunu bildirmiştirlerdir.

R.M. Goldwyn (3), 1967, bir self, iki kapasite ve bir dirençten oluşan geliştirilmiş Windkessel elektriksel dolaşım modelini kullanmış, normal ve hasta şahısların kol atardamarından alınan basınçların sadece diyastol (gevşeme) süresindeki kısımlarına, model çıkış geriliminin diyastole karşı düşen zaman aralığındaki değişimini, en küçük kareler yöntemi yardımı ile, uyacak şekilde devre parametrelerini belirlemiştir. Bu çalışmada, bu parametre değerlerinin damar hastalık derece ve şekilleri için iyi bir bilgi olağlığı vurgulanmıştır.

S. Laxminarayan ve meslektaşları (4), 1978, bir deney hayvanına ait dolaşım sistemi, buna karşı düşürülen bir Windkessel modeli ve bir üniform tübe ait sistem impuls cevaplarını incelemişler ve deney hayvanına ait impuls cevabının, Windkessel modelinininkine daha çok benzediğini açıklamışlardır. Toplam damar kapasitesini, impuls cevabının $t = 0$ anındaki değerinin tersi olarak ve ona paralel gelen direncin de ortalama aort basıncının ortalama aort akımına oranı olarak belirlemiştirlerdir.

B.W. Schaaf, P.H. Abbrecht (1), 1972, atardamarı düz, esneyebilen ve fakat geometrik olarak incelen bir boru olarak ele alıp buna kütlenin ve momentumun sakınımını ve lineer elastik membran denklemlerini uygulayarak dolaşım sisteminin matematiksel modelini kurmuşlar ve dolaşım sistemindeki

çeşitli atardamarlar için, damar çapı, damar çeper kalınlığı, elastisite modülü ve damar uzunluklarını parametre olarak alıp, elde ettikleri nonlineer eşitlikleri, digital bir bilgisayar yardımı ile nümerik olarak çözerek model çıkış büyütüklerini klinik olarak elde edilenlerle karşılaştırmalı olarak vermişlerdir.

J.W. Clark ve meslektaşları (5), 1980, dolaşım sistemine ait Windkessel modelini ele almışlar. Sağlıklı ve hasta dolaşım sistemine ait model parametelerinin eğri uydurma yöntemi ile belirlenmiş şeklini göstermişlerdir.

R. A. Paulsen ve meslektaşları (6), 1982, Windkessel modelini ele almışlar. Parametre belirlenmesi için en küçük kareler yöntemi ile eğri uydurma işlemini uygulamışlar ve referans eğri olarak da aortun sadece son kısmındaki basınç değişiminin alınmasının yeterli olduğunu göstermişler ve aort basınç değişimlerinin parametrelerle olan duyarlıklarını incelemişlerdir.

T.J. V. Werff (10), 1974, dolaşım sisteminin matematiksel modelini kurmuş ve ele aldığı iki parametrenin, damarın gittikçe daralmasının ve damar esnekliğine bağımlı olan dalga hızının, basınç ve özellikle hız değişimleri üzerinde oldukça etkili olduklarını göstermiş ve elde edilen sonuçlara ve damara ait basınç ya da hız değişimlerine bakılarak damarın sağlıklı oluşu hakkında bir bilgi sahibi olunabileceğini vurgulamıştır.

V. C. Rideout, D.E. Dick (11), 1967, Navier-Stokes denklemlerini bazı koşullarda lineerleştirerek basınç-akış hızı ilişkilerini kurmuşlar ve buradan da elektrik benzesimine geçerek ve sonlu farklar yöntemini uygulayarak, dolaşım sisteminin elektriksel parametrelerini, sistemin hidrolik parameteleri cinsinden vermişlerdir.

P. P. Chang ve meslektaşları (12), 1974, bir deney hayvanına ait dolaşım sisteminin R,L ve C elemanlarından oluşan elektriksel modelini kurmuşlar. Devre elemanlarının çeşitli hidrolik parametrelerle (akışkan viskositesi ve yoğunluğu, damar çapı ve uzunluğu, damar çeperinin kalınlığı ve Young sabiti gibi) bağlı olduğunu bildirmişler ve 46 elemanlı bu modelde minimum-laştırma kriterini uyguladıktan ve duyarlık araştırması yaptıktan sonra 8 temel parametreyi esas alarak, elde ettikleri modele ait çeşitli noktalardaki gerilim-akım değişimlerini, bir canlı organdan elde edilenlerle karşılaştırmalı olarak vermişlerdir. Uyguladıkları yöntemin, insan dolaşım sisteminde doğrudan ölçülemeyen bazı önemli parametrelerin belirlenmesinde yardımcı olabileceğini vurgulamışlardır.

W. J. Ohley ve meslektaşları, (13) 1980, Navier-Stokes denklemlerine sonlu farklar metodunu (11) uygulamışlar ve fakat damar yarıçapının akış hızı

değisimi ile değiştigini düşünerek parametrelerin de basınç ya da hız değişimi ile değiştigini, dolayısı ile denklemlerin nonlineer olduğunu bildirmiştir. Kalp vurum hızı ve çevre direncini x ve y eksenleri üzerinde bağımsız parametre olarak ve ortalama diyastol basıncı, kalp çıkışı ve diyastol sonu basınç değerlerinin deney sonuçlarından elde edilen değerlerinden olan farklılarını z ekseni üzerinde ayrı ayrı bağımlı parametre olarak alıp üç boyutlu geçerlilik bölgelerini incelemiştir ve ancak bu değişimlerin düzgün yüzey verdiği bölgelerde modelin geçerli olabileceğini savunmuşlardır.

V. C. Rideout (14), 1972, bağlı bulunduğu üniversitede biyomedikal alanında çalışma yapan öğrenciler için daha önceki çalışmasından (11) yararlanarak dolaşım sisteminin tümünü 27 diferansiyel denklem takımı ile modellemiştir ve bu denklemlerde elektriksel devre parametrelerini kullanmıştır. Bu çalışmada model, bir hibridbilgisayara yüklenmiş ve uygun parametre takımı seçilerek devre çıkış büyüklüklerinin deneylerden elde edilen karşıtlarına benzemesi sağlanmış ve devrenin parametreleri değiştirilerek, yani modelde bozukluk yapılarak bozukluğun model çıkış büyüklükleri üzerindeki etkileri incelenmiştir.

W. Welkowitz ve meslektaşları (15), 1981, hastadan aldıkları boyun atardamar basınç değişimini 4 parametrelî bir elektriksel modele uygulayarak, modelin çıkış gerilimi değişimini, aynı hastanın kalça atardamar basınç değişimine benzeyebilecek şekilde devre parametrelerini belirlemiştir. Bu şekilde parametreler belirlendikten sonra model üzerinden akış hızı değişimlerinin ve kalbin nasıl çalışığının göstergesi olan kalp çıkışı değerinin diğer yöntemlere göre daha tehlikesiz ve daha kolay ölçülebildigini vurgulamışlardır.

H. Karadoğan (16), 1978, kurduğu hidromekanik deney düzeneinde laminer pulsatif akımlardaki yük kayıplarını ve ona etkiyen parametreleri incelemiştir ve titreşim frekansının artması sonucu ortaya çıkan teorik ve deneysel sonuçlar arasındaki farkı açıklamaya çalışmıştır.

W.M. Swanson, R.E. Clark (17,18), 1977, yapay dolaşım sistemi için olması gereken özelliklerini vermişler ve bu özellikleri sağlayan bir yapay dolaşım sistemini kurmuşlardır. Sistemde, pistonu, ötelemeli hareket yapabilmesi için bir krank-biyel mekanizması ile bir motora bağlı olan ve iki kapaklı bulunan şeffaf malzemeden yapılmış bir pompa kullanılmışlardır. Pistonun darbeli hareket edebilmesi için pistonun geri çekilişinde bir yay aracılığı ile motor zorlatılıp yavaşlatılmış ve tersine pistonun ileri hareketinde ise yaydaki bu

birikmiş potansiyel aşağı çıkarılarak motor ve dolayısıyla piston hızlandırılmıştır. Damar olarak kullandıkları boruların boyalarını ve eşit aralıklı olarak bu borulara yerleştirdikleri kelepçelerin boru parçalarını sıkma miktarlarını ayarlayarak sistemden istenen basınç değişimlerini elde etmişlerdir.

H. Reul (19), 1983, fiziksel benzeşim kurallarına göre dolaşım sisteminin hidromekanik modelini gerçekleştirmiştir, bunun için akışkan viskositesini ve aort geometrisini bire bir oranında benzetmiş ve frekansa bağımlı hacim pulslarını ise bir motora bağlı "kam" aracılığı ile elde etmiştir. Damarları, yapay kalp ile birlikte, içindeki sıvı basıncı değiştirilebilen kapalı bir depo içine koyarak dolaşım sisteminin kapasitesini ve kılcal damarlar üzerine yerleştirdiği kelepçeler yardımıyla da çevre dirençlerini değiştirerek sistemden istenen basınç değişimlerini elde etmiş, ayrıca vurum hacmi, vurum hızı ve damar esneklik sabiti gibi üç parametreden sıra ile ikisini sabit ve birini değişken seçerek bu parametrelerin aort basıncı üzerindeki etkilerini incelemiştir. Bu çalışmada, sistemin, yapay kalp kapakçıkları ve hatta yapay kalplerin testinde de kullanıldığı ileri sürülmektedir.

Verilen örneklerden görüldüğü gibi bugüne kadar ya sadece yapay dolaşım sistemi üzerinde ya da canlı dolaşım sisteminin modellemesi üzerinde çalışmalar yapılmıştır. Bu tezde, bu iki konu birleştirilerek canlı dolaşım sisteminde yapay dolaşım sistemine geçişte, sistem modellemesi, bir köprü olarak kullanılmıştır. Yapay sistem, emme basma tulumba gibi çalışan, öteleme hareketi yapan bir pistonu olan ve iki kapaklığı bulunan plexiglasdan yapılmış şeffaf bir pompa ile pompanın giriş ve çıkışı arasında kapalı bir çevrim oluşturan kısmen esnek boru parçacıklarından oluşmaktadır. Pompa pistonu, dairesel hareketi ötelemelii harekete çeviren krank-biyel mekanizması ile bir adım motruna bağlıdır. Motor, mikroişlemci kontrolu altında çalıştırılmaktadır. Adım motorunun hızı, girişine uygulanan elektriksel darbe katarının frekansı ile değişirken, bu darbelerin frekansı bir mikroişlemci yardımıyla pompanın bir atım periyodunda o şekilde değiştirilir ki piston yerdeğiştirmesi, pompa içi hacim değişimi ve dolayısıyla aorta aktarılan akışkanın hızı ve de aort basınç değişimi, insan dolaşım sistemindekine benzer olarak dárbeli olmuş olur.

Pompadan aorta fırlatılan akışkanındeki değişimi belli iken sisteme ait aorttaki basınç değişimi istenen şekli alacak şekilde sistem parametreleri belli bir metoda göre belirlenecektir. Kullanılacak metod, Goldwyn'in (3)

kullandığı, bilgisayar ile benzeşim metodudur, ancak eğri uydurma işlemi sadece diyastol için değil bütün bir periyod için ele alınmıştır. Hidrolik sistemin elektriksel eşdeğeri (geliştirilmiş Windkessel modeli) kurularak önce bu model üzerinde çalışılmıştır. Model giriş ve çıkışı, Schaaf'ın (1) kendi matematiksel modelinde ele aldığı değişimler olarak belli iken model parametreleri bir bilgisayar yardımı ile en küçük kareler yöntemi uygulanarak bulunmuş ve daha sonra bunların hidrolik eşdeğerleri sisteme kullanılmaya ve böylece yapay dolaşım sisteminde istenen basınç değişimini elde edilmeye çalışılmıştır. Böylece kan dolaşım sistemindeki akışların etüdü için bir model oluşturma yöntemi bu tezde teklif edilmiştir.

Yapay sistemde, Pawel'in (7,8) çalışmalarında kullandığı pompaya benzer bir pompa kullanılmış ancak pompa, profili istenen debi değişimine göre her seferinde değiştirilen "kam" yerine, mikroişlemci kontrollü adım motoru ve krant-biyel mekanizması ile sürülmüştür. İstenen debi değişim biçimini ise sadece mikroişlemcinin program verilerini değiştirmek yeterlidir. İstenen debi değişim biçimini için gerekli verilere gelince bunlar da bir dijital bilgisayar programı yardımıyla kolayca elde edilebilmektedir. Ayrıca sisteme krakin boyu değiştirilerek debi değişiminin şekli bozulmadan genliği (dolayısıyla vurum hacmi) kolayca değiştirilebilmektedir. Vurum hızı da mikroişlemciye bağlı olan bir osilatörün frekansı yardımı ile kolayca değiştirilebilmektedir.

Model çalışmaları yapanlar içinde, uydurukları eğrinin gerçege yakınlığı nicel olarak veren iki makaleye rastlanmıştır. Bunlardan Goldwyn (3), sadece diyastol kısmını için parametrelerini belirlediği model çıkış büyüğünü değişiminin, referans seçtiği değişimden olan farkının standart sapmasını 1 mmHg'den küçük bulmuştur. Clark ve meslektaşları (5) ise bütün bir periyod için hesapladıkları, uydurulan eğriye ait RMS hmasını (root mean square error) 2,7 olarak bulmuşlardır. Hidromekanik sistem gerçekleyenler içinde ise uygunluk ölçüsü verenlere rastlanmamıştır. Bu tezde, gerçekleştirilen yapay sistemin ele alınan çıkış basıncına ait hatanın standart sapması 3,4 mmHg olarak bulunmuştur.

Reul (19), kurduğu hidromekanik sisteminde, gerçege yakın çıkışlar elde edebilmek için geometrik ölçek (oran) faktörünü 1 olarak almış ve bunun için de boyutları, esnekliği, uzunluğu boyunca daralma derecesi, yan kolları aorta tipa tip uyan özel malzemeden yapılmış bir aort kullanmış olmasına karşın bu

tezde, ölçek faktörü, sistemin geometrisine değil sistem parametre değerlerine bağlılığından hem sistemde kullanılacak aortun o kadar özel olması gerekmektedir, ki bu sistemi daha basitleştirdiği gibi maliyetini de ucuzlatmaktadır ve hem de toplu olarak gerçekleştirilen parametreler birbirinden bağımsız olarak değiştirilerek farklı durum ve şartlar kolaylıkla oluşturulmakta ve sistemden istenen basınç şekilleri kolayca elde edilebilmektedir.

Verilen makale özetiindeki bazı deney ve çalışmalar (kapakçık testi deneyleri, boru daralması ile oluşan hız çalkantısının frekans spektrumu ile daralma derecesi arasındaki ilişkiyi bulmaya yönelik çalışmalar, hız profili çıkarma ve türbülans (çalkantı) olayını inceleme çalışmaları gibi) bu tezde verilen sistem yardımıyla da yapılabilir. Bu sistemde ayrıca anlık debi ölçmesi çalışmaları yapılarak, çalışma sistemleri farklı diğer debi ölçerlerin kalibrasyonlarının bu sistem sayesinde mümkün olabileceği vurgulanmıştır.

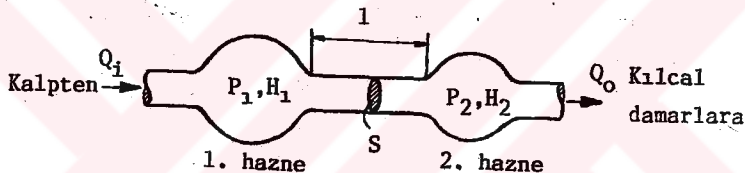
BÖLÜM 2

TEORİK İNCELEME

Bu bölümde dolaşım sisteminin elektriksel modeli verilecek ve model giriş değişkeninin (kaynak akımının) zamana göre değişimini belli iken, model çıkış büyülüğünün (rezistif yükün uçlarındaki gerilimin) zamana göre değişimini, uydurulmak istenen sistemin karşı düşen çıkış büyülüğüne (aortun aşağı kısmındaki basınç değişim biçimine) uyacak şekilde devre parametrelerinin belirlenmiş şekli anlatılacaktır.

2.1 ELEKTRİKSİN EŞDEĞER MODEL

Goldwyn (3), aortun toplu elemanlardan oluşan fiziksel modelini Şekil 2.1-deki gibi vermiştir. Bu modelde aort,



Şekil 2.1- Dolaşım sisteminin bir parçası olan aortun fiziksel modeli.

iki elastik hazne ve bu hazneleri birleştiren bir rıjit boru yolu olarak ele alınıyor. Birinci hazne aortun yukarı kısmının, ikinci hazne ise aortun daha sert olan aşağı kısımlarının esnekliğini ve iki hazneyi birleştiren rıjit boru ise aortun taşıdığı kan sütununu temsil etmektedir. Hazneler daha çok kapasitif özellik gösterdiklerinden, hazne hacmi ile içindeki basınç arasında lineer bir ilişki olduğu varsayılmaktadır. Bu ilişkilere geçmeden önce hidrolik büyüklerden önemli olanlarını ve bunların elektriksel karşılıklarını özetleyelim (Tablo 2.1.).

Sistemde dolaşan akışkanın sıkıştırılamaz olduğu ve akışın laminar olduğu kabulu ile Şekil 2.1'de gösterilen modele ait denklemler yazılabilir. Hazne içi lineer hacim-basınç ilişkileri;

$$H_1 = H_1(0) + K_1 P_1 \quad H_2 = H_2(0) + K_2 P_2 \quad (2.1)$$

$$Q_1 = dH_1 / dt = K_1 \cdot dP_1 / dt \quad Q_2 = dH_2 / dt = K_2 \cdot dP_2 / dt \quad (2.2)$$

Tablo 2.1- Hidrolik ve Elektriksel Büyüklükler.

Hidrolik Büyüklükler

H : hacim (cm^3)
Q : debi (cm^3/s)
P : basınc (mmHg)
v : hız (cm/s)
K : elastisite sabiti (cm^3/mmHg)
M : kütle sabiti ($\text{mmHg s}^2/\text{cm}^3$)
R : direnç ($\text{mmHg.s}/\text{cm}^3$)

Elektriksel Büyüklükler

q : yük (C)
i : akım (A)
u : gerilim (V)
J : akım yoğunluğu (A/m^2)
C : kapasite (F)
L : indüktans (H)
R : direnç (Ohm)

Momentum sakınımı, riyit boru yoluna uygulanırsa; S , borunun kesit alanı, m , v ortalama hızı ile hareket eden sıvının kütlesi olmak üzere;

$$F = d(mv) / dt \quad (2.3)$$

ρ , sıvının özgül kütlesi, ℓ boru boyu olmak üzere;

$$m = \rho \cdot S \cdot \ell \quad (2.4)$$

dir ve,

$$v = Q / S \quad (2.5)$$

$$F = (P_1 - P_2) \cdot S \quad (2.6)$$

olacağından (2.3) bağıntısı yeniden yazılırsa,

$$(P_1 - P_2) \cdot S = d(\rho \cdot S \cdot \ell \cdot Q / S) / dt$$

$$(P_1 - P_2) = (\rho \cdot \ell / S) \cdot dQ / dt \quad (2.7)$$

elde edilir.

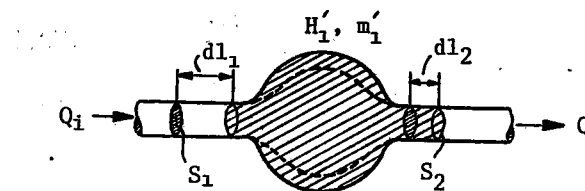
(2.7) eşitliğinde $(\rho \cdot \ell / S)$ terimi bir sabit olup kütle sabiti (M) olarak değerlendirilecektir.

$$M = \rho \cdot \ell / S \quad (2.8)$$

eşitliği, (2.7) ye götürürlerek

$$P_1 - P_2 = M \cdot dQ / dt \quad (2.9)$$

elde edilir.



Şekil 2.2 - Genişlemiş durumda 1. hazne.

Şekil 2.2'den yararlanarak, kütlenin sakınımı ilkesi, birinci hazneye uygulanırsa,

$$\sum_{t=t_i} m = \sum_{t=t_{i+1}} m \quad (2.10)$$

yazılır.

Birinci haznedeki sıvının t_i anındaki kütlesi m_1 , hacmi H_1 ve t_{i+1} anındaki kütlesi m'_1 , hacmi H'_1 olmak üzere, (2.4) eşitliğinin de yardımıyla, (2.10) eşitliği yeniden düzenlenirse;

$$\rho \cdot S_1 \cdot d\ell_1 + m_1 = \rho \cdot S_2 \cdot d\ell_2 + m'_1 \quad (2.11)$$

olur. Hazne içi sıvı kütlesi (m), hazne hacmi (H) cinsinden genel olarak,

$$m = \rho \cdot H \quad (2.12)$$

ve hazne dışı sıvı hızları, sıvı yerdeğiştirme miktarları cinsinden,

$$v = d\ell / dt \quad (2.13)$$

yazılabilir.

(2.12) ve (2.13) eşitlikleri kullanılarak (2.11) eşitliği yeniden düzenlenirse,

$$\rho \cdot S_1 \cdot v_1 \cdot dt + \rho \cdot H_1 = \rho \cdot S_2 \cdot v_2 \cdot dt + H'_1 \cdot \rho \quad (2.14)$$

ve (2.5) eşitliği kullanılarak ve gerekli sadeleştirmeler yapılarak,

$$Q_1 \cdot dt + H_1 = Q_2 dt + H'_1 \quad (2.15)$$

elde edilir. (2.15) eşitliğindeki Q_1 ve Q_2 debileri sırasıyla Şekil 2.2'deki Q_1 ve Q debileridir, H'_1 'deki değişim miktarı da gözönüne alınırsa bu eşitlik,

$$Q_i - Q = dH_1 / dt \quad (2.16)$$

şekline girer. İkinci hızne için de benzer şekilde,

$$Q - Q_o = dH_2 / dt \quad (2.17)$$

yazılabilir.

Kılcal damar yatağının daha çok direnç özelliği gösterdiği düşünülerek, bu yatağa giren debi ile yatak uçları arasındaki basınç farkı arasındaki lineer ilişki, yatak direnci R ve yatak uçları arasındaki basınç farkı ($P_2 - P_3$) olmak üzere; akışın laminar ve Strouhal sayısının 1'den küçük olması halinde;

$$Q_o = (P_2 - P_3) / R \quad (2.18)$$

dir. Burada P_3 , toplardamar giriş basınçına karşı gelmektedir.

Damarlara göre sertliği fazla olan kalbe ise, Q_i debisini veren bir akım kaynağı gözü ile bakılabilir (17, 21).

Elde edilen denklemler, (2.2), (2.9), (2.16-18) eşitlikleri ve Tablo 2.1 yardımıyla, dolasım sisteminin elektriksel modeli kurulabilir.

$$dP_1 / dt = Q_1 / K_1 \quad du_1 / dt = i_1 / C_1 \quad (2.19)$$

$$dP_2 / dt = Q_2 / K_2 \quad du_2 / dt = i_2 / C_2 \quad (2.20)$$

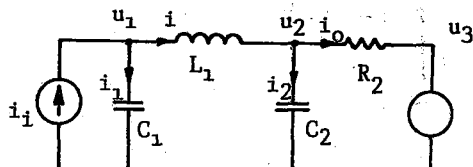
$$(P_1 - P_2) = M \cdot dQ / dt \quad u_1 - u_2 = L_1 \cdot d_i / dt \quad (2.21)$$

$$Q_i - Q = dH_1 / dt \quad i_1 - i = dq_1 / dt = i_1 \quad (2.22)$$

$$Q - Q_o = dH_2 / dt \quad i_o = i_2 - i_1 \quad (2.23)$$

$$Q_o = (P_2 - P_3) / R \quad i_o = (u_2 - u_3) / R_2 \quad (2.24)$$

Elde edilen bu sağ taraftaki elektriksel büyüklükleri içeren eşitliklerden Şekil 2.3'deki elektriksel modele geçilebilmekte ve bu model, Geliştirilmiş Windkessel modeli olarak bilinmektedir (3-6).



Şekil 2.3- Dolasım sisteminin elektriksel modeli.

Kalp, gevşeme (diyastol) durumunda aorta kan pompalamadığı için bu gevşeme süresi içinde,

$$i_1 = 0 \quad (2.25)$$

dir ve her an için P_3 toplardamar giriş basıncının sabit, dolayısıyla u_3 , geriliminin de U_3 değerinde kaldığı varsayılarak, gevşeme süresi içinde, (2.19-24) eşitlikleri,

$$i_1 = 0 \quad (2.26)$$

$$u_3 = U_3 = St. \quad (2.27)$$

$$du_1 / dt = -i / C_1 \quad (2.28)$$

$$du_2 / dt = i / C_2 + (U_3 - u_2) / (R_2 C_2) \quad (2.29)$$

$$di / dt = u_1 / L_1 - u_2 / L_1 \quad (2.30)$$

şekline girer. Denklemler matrisel olarak yazılır.

$$\dot{y} = Ay + B \quad (2.31)$$

$$y = \begin{bmatrix} u_1 \\ u_2 \\ i \end{bmatrix} \quad (2.32)$$

ve

$$G = 1 / R, \quad D = 1 / C, \quad \Gamma = 1 / L \quad (2.33)$$

dönüşümleri gözönüne alınırsa,

$$A = \begin{bmatrix} 0 & 0 & -1/C_1 \\ 0 & -1/R_2 C_2 & 1/C_2 \\ 1/L_1 & -1/L_1 & 0 \end{bmatrix} = \begin{bmatrix} 0 & 0 & -D_1 \\ 0 & -G_2 D_2 & D_2 \\ \Gamma_1 & -\Gamma_1 & 0 \end{bmatrix} \quad (2.34)$$

$$B = \begin{bmatrix} 0 \\ U_3/R_2 C_2 \\ 0 \end{bmatrix} = \begin{bmatrix} 0 \\ D_2 G_2 U_3 \\ 0 \end{bmatrix} \quad (2.35)$$

olur.

A, bir alt üçgen matris olduğundan rankı 3'dür ve (2.31) denklemi de üçüncü dereceden olup skaler büyüklükler cinsinden çözümü,

$$y(t) = a_1 e^{s_1 t} + a_2 e^{s_2 t} + a_3 e^{s_3 t} + a_4 \quad (2.36)$$

şeklindedir ve bu denklemin s_1 , s_2 , s_3 özdeğerleri, A matrisine ait karakteristik denklemin kökleri olarak belirlenmektedir (22).

$$d(s) = \det(sI - A) = 0 \quad (2.37)$$

Sistem üçüncü dereceden olduğundan (2.37) eşitliği,

$$d(s) = s^3 + ms^2 + ns + p = 0 \quad (2.38)$$

büçümde yazılabilir. s_1 , s_2 , s_3 özdeğerleri (2.37) eşitliğini sağlayacağından, bu eşitlik,

$$d(s) = (s - s_1) \cdot (s - s_2) \cdot (s - s_3) = 0 \quad (2.39)$$

büçümde yazılabilir. Ayrıca A matrisi (2.37) eşitliğinde yerine konursa,

$$d = \det(sI - A) = \begin{vmatrix} s & 0 & D_1 \\ 0 & s + D_2 G_2 & -D_2 \\ -\Gamma_1 & \Gamma_1 & s \end{vmatrix} = 0 \quad (2.40)$$

$$d = s^3 + D_2 G_2 s^2 + \Gamma_1(D_1 + D_2)s + \Gamma_1 D_1 D_2 G_2 = 0 \quad (2.41)$$

eşitliği elde edilir. (2.38) ve (2.41) eşitlikleri karşılaştırılırsa,

$$m = D_2 G_2 \quad (2.42)$$

$$n = \Gamma_1(D_1 + D_2) \quad (2.43)$$

$$p = \Gamma_1 D_1 D_2 G_2 \quad (2.44)$$

elde edilir. G_2 bağımsız parametre olarak alınıp, (2.42-44) eşitliklerinden D_1 , D_2 ve Γ_1 parametreleri; m, n ve p cinsinden bulunabilir.

$$D_2 = m / G_2 \quad (2.45)$$

$$\Gamma_1 = G_2 \cdot (m \cdot n - p) / m^2 \quad (2.46)$$

$$D_1 = m \cdot p / ((m \cdot n - p) \cdot G_2) \quad (2.47)$$

Bu denklemler C_1 , C_2 , ve L_1 için düzenlenirse,

$$C_2 = 1 / (m \cdot R_2) \quad (2.48)$$

$$L_1 = m^2 R_2 / (m \cdot n - p) \quad (2.49)$$

$$C_1 = (m \cdot n - p) / (m \cdot p \cdot R_2) \quad (2.50)$$

elde edilir.

(2.41) eşitliğinin katsayıları reel olduğundan, s_1 , s_2 , s_3 köklerinin ya hepsi reeldir veya biri reel diğer ikisi karmaşıktır. Sistem çıkışında bir miktar osilasyon beklenigidinden ikinci varsayımda ele alınacaktır. Bu durumda kökler aşağıdaki gibidir (3).

$$s_1 = -b \quad (2.51)$$

$$s_2 = -f + jg \quad (2.52)$$

$$s_3 = -f - jg = \bar{s}_2 \quad (2.53)$$

Bu değerler (2.39) eşitliğinde yerine konulup elde edilen yeni eşitlik (2.38) eşitliği ile karşılaştırılırsa,

$$m = 2f + b \quad (2.54)$$

$$n = f^2 + g^2 + 2bf \quad (2.55)$$

$$p = b (f^2 + g^2) \quad (2.56)$$

eşitlikleri elde edilir.

(2.51-53) eşitlikleri (2.36) eşitliğinde yerlerine konulursa, çıkış büyüğünün genel ifadesi elde edilir,

$$y(t) = a \cdot e^{-bt} + d \cdot e^{-ft} \sin(gt+h) + c \quad (2.57)$$

Elektriksel modelde (2.57) eşitliği ile analitik ifadesi verilen durum değişkenlerinden u_1 ve/veya u_2 gerilim değişimleri, kalp-damar sisteminde karşı düşen basınç değişimlerine uyacak şekilde b , f ve g parametreleri ve bu parametreler (2.54-56) eşitliklerinde yerlerine konarak m , n ve p parametreleri bulunacaktır. m , n ve p parametreleri belli iken de R_2 bilinen bir değer olmak üzere (2.48-50) eşitlikleri yardımıyla model parametreleri (C_1 , C_2 ve L_1) bulunabilecektir. O halde burada problem eğri uydurma problemine dönüşmektedir. Daha önce, R_2 'nin, model giriş ve çıkış büyüklüklerinin ortalama değerleri ile nasıl belirleneceğini görelim (4, 5).

2.2 MODEL PARAMETRELERİNİN BELİRLENMESİ

2.2.1 R_2 PARAMETRESİNİN BELİRLENMESİ

Toplardamar giriş basıncı, atardamar basınçları yanında ihmal edilebilecek mertebede küçük olduğu varsayılp (2.27) ile verilen U_3 gerilimi sıfır alınacaktır.

$$U_3 = 0 \quad (2.58)$$

Bu durumda Şekil 2.3'de verilen model daha basitleşmiş olacak, yani parametrelerden biri yok edilmiş olacaktır. Bu durum, yapay sistemin basitleşmesine de yol açar; sistem R_2 direncinden sonra atmosfere açılacağından toplardamarları modelleme gereği ortadan kalkar, sistemin açık olan bu noktasından belli sürede akıtılan sıvı hacmini ve dolayısıyle ortalama debiyi nicel olarak ölçmek mümkün olur, açık olan uçtan akan sıvı bir kabda toplacağından bu durumun sağlayacağı imkanlardan (sıvı viskositesini ölçmek ve değiştirmek, dolaştırılan sıvuya karıştırılacak malzemeleri bu kabda homojen hale getirmek, sıvıda oluşacak ısını almak ya da sıvı sıcaklığını belli bir değere getirmek gibi) yararlanılır.

Bu yeni durum gözönüne alınarak,

$$i_i = I_o = St. \quad (2.59)$$

doğru akım kaynağı ile model sürülürse R_2 yükünün uçlarında düşen gerilim,

$$u_2 = U_0 = I_0 \cdot R_2 \quad (2.60)$$

olacaktır. i_1 akım kaynağının t domeninde en genel ifadesi Fourier bileşenleri cinsinden,

$$i_1(t) = I_0 + \sum_{n=1}^{\infty} I_n \cdot \sin(n\omega t + \phi_n) \quad (2.61)$$

ve benzer şekilde $u_2(t)$ gerilimi ise,

$$u_2(t) = U_0 + \sum_{n=1}^{\infty} U_n \cdot \sin(n\omega t + \theta_n) \quad (2.62)$$

şeklindedir. (2.61) eşitliği ile verilen akımın ortalama değeri,

$$\overline{i_1(t)} = (1/T) \int_0^T i_1(t) dt \quad (2.63)$$

$$= I_0 + (1/T) \sum_{n=1}^{\infty} I_n \int_0^T \sin(n\omega t + \phi_n) dt \quad (2.64)$$

$$= I_0 \quad (2.65)$$

ve benzer olarak (2.62) eşitliği ile verilen u_2 geriliminin ortalama değeri,

$$\overline{u_2(t)} = U_0 \quad (2.66)$$

olacaktır. (2.60), (2.65) ve (2.66) eşitlikleri birleştirilirse,

$$R = \overline{u_2(t)} / \overline{i_1(t)} = U_0 / I_0 \quad (2.67)$$

bulunur. Bu eşitlik, u_2 ve i_1 değişkenlerinin ortalama değerlerinin oranı olarak R_2 'nin belirleneceğini göstermektedir.

2.2.2. C_1 , C_2 , L_1 PARAMETRELERİNİN BELİRLENMESİ

2.2.2.1 GENEL AÇIKLAMA

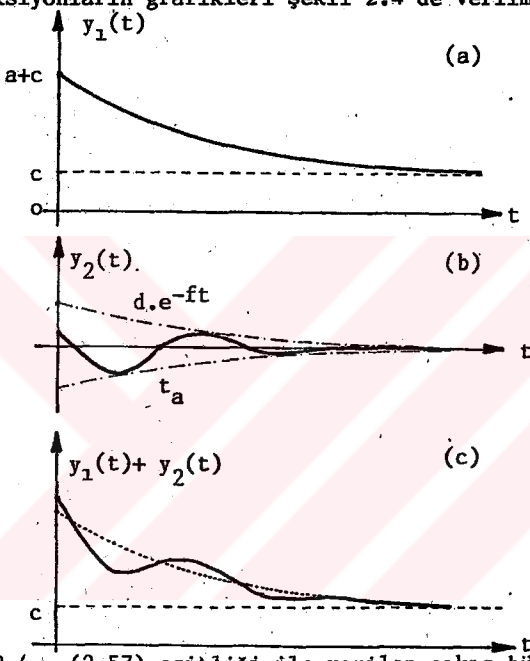
(2.57) eşitliği ile verilen çıkış büyülüklerinden (u_1 , u_2 veya i) herhangi birine ait analitik ifade aşağıdaki gibi iki fonksiyonun toplamı olarak gösterilebilir,

$$y(t) = y_1(t) + y_2(t) \quad (2.68)$$

$$y_1(t) = ae^{-bt} + c \quad (2.69)$$

$$y_2(t) = de^{-ft} \cdot \sin(gt+h) \quad (2.70)$$

Bu fonksiyonların grafikleri şekil 2.4'de verilmiştir.



Şekil 2.4 - (2.57) eşitliği ile verilen çıkış büyüklüğünün zamana göre değişimi.

Goldwyn (3), normal bir insandan alınan kol atardamar basıncı değişimini referans alarak eğri uydurmada en küçük kareler metodunu uygulamış; (2.57) ifadesindeki $a-h$ parametrelerini ve $R_2 = 1 \text{ mmHg/cm}^3$ için normalleştirilmiş devre parametrelerini (C_1 , C_2 ve L_1 değerlerini) eğri uydurmada 1 mmHg'lik bir standart sapma hatası ile bulmuştur.

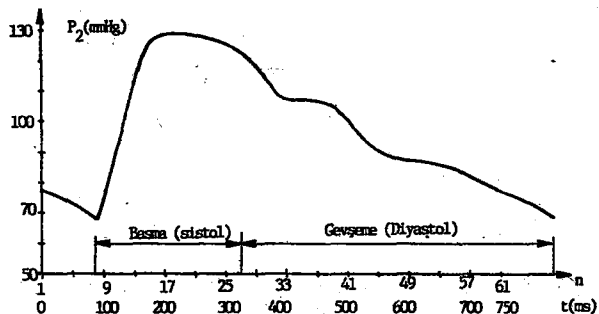
Paulsen (6), eğri uydurmada sadece aortun aşağı kısımlarından alınan basıncı değişiminin referans olarak alınmasının elektriksel devre parametrelerinin belirlenmesinde yeterli olduğunu göstermiştir.

Bu çalışmada ele alınan referans basıncı eğrisi olarak, Schaaf'in makalesinde (1) verilen, bir canlıya ait aortun aşağı bölgelerinden alınmış olan basıncı değişimlerinden biri alınmış ve bu eğri Şekil 2.5'de gösterilmiştir.

(2.58) eşitliği ile de belirtildiği gibi R_2 yükünden sonraki kaynağın gerilimi sıfır seçildiğinden (2.57) eşitliğindeki c terimi de sıfır olacak,

$$c = 0$$

$$(2.71)$$



Şekil 2.5 - Referans basınc eğrisi.

ve çıkış büyülüğünün analitik ifadesi, x zaman olarak ele alındığında;

$$y = ae^{-bx} + de^{-fx} \cdot \sin(gx+h) \quad (2.72)$$

şeklini alacaktır. Bu ifade, Şekil 2.5'de verilen eğrinin gevşeme süresindeki değişimine uydurulmaya çalışılarak b, f, g ve (2.48-56) eşitlikleri yardımıyla da dolaylı olarak C₁, C₂, L₁ bulunacaktır.

2.2.2.2 a, b PARAMETRE ÇİFTİNE İLK YAKLAŞIM

Şekil 2.5'de verilen eğrinin gevşeme süresindeki değişimine ilk yaklaşım olarak (2.69) eşitliği ile verilen,

$$y_1(x) = a \cdot e^{-bx} \quad (2.73)$$

ifadesi kullanılacak ve a, b parametre çifti bulunacaktır.

Eğri uydurmada en küçük kareler metodu (23) uygulanacaktır. Bu metodda, (x_j, y_j) data çifti değerleri için,

$$\sum_j (y_1(x_j) - y_j)^2 = F(a, b) = \text{minimum} \quad (2.74)$$

yapılmasına çalışılacaktır. Bu da y_j referans basınc eğrisinden alınan örneklerdir. b'nin değerinin biliniyor olduğunu varsayırsak, (2.74) eşitliğinin sağlanabilmesi için

$$\delta F / \delta a = 0 \quad (2.75)$$

bağıntısı geçerli olmalıdır. (2.73) eşitliği, (2.74) ve (2.75) eşitliklerin-

de yerlerine konursa, N data çifti için,

$$\sum_{j=1}^N (ae^{-bx_j} - y_j)^2 = F(a) = \text{minimum} \quad (2.76)$$

$$\frac{\delta F}{\delta a} = 2 \cdot \sum_{j=1}^N (ae^{-bx_j} - y_j) \cdot e^{-bx_j} = 0 \quad (2.77)$$

eşitlikleri bulunur. (2.77) eşitliği yeniden düzenlenirse,

$$a \cdot \sum_{j=1}^N e^{-bx_j} = \sum_{j=1}^N y_j \quad (2.78)$$

$$a = (\sum_{j=1}^N y_j) / (\sum_{j=1}^N e^{-bx_j}) \quad (2.79)$$

elde edilir. Ancak (2.79) eşitliği, verilen bir b değeri için (2.74) eşitliğinde verilen karesel hata fonksiyonunu minimum yapmaktadır. Karesel hatayı azaltacak yönde b değeri ile oynanıp bu işleme, ε yeteri kadar küçük bir sayı olmak üzere,

$$|b_{\text{yeni}} - b_{\text{eski}}| \leq \epsilon \quad (2.80)$$

oluncaya kadar devam edilerek iterasyon uygulanacak olursa, karesel hata fonksiyonunu minimum yapan a, b parametre takımı bulunabilir. (2.73-80) eşitliklerinde anlatılan işlemleri yapan bir bilgisayar programı "CUR" ve sonuçları Ek 1'de verilmiştir.

2.2.2.3 a-h PARAMETRELERİNİN BELİRLENMESİ

a, b parametreleri belli iken (2.73) eşitliği ile verilen $y_1(x)$ fonksiyonu belirlenmiş olur. Bu durumda (2.68) eşitliği yardımı ile $y_2(x)$ 'in zamanla değişimini elde edilebilir.

$$y_2(x) = y(x) - y_1(x) \quad (2.81)$$

ve (2.70) eşitliğinde verilen d, f, g ve h parametreleri de 2.2.2.2 alt bölümünde verilen eğri uydurma metodu esas alınarak benzer biçimde bulunabilir. Bunun yerine, $y_2(x)$ değişiminin Şekil 2.4.b'de verilen biçimde olduğu düşünülderek ve bu değişimin şecline bakılarak d, f, g ve h parametreleri kabaca bulunacak ve daha sonra tüm a-h parametre takımı, en küçük karelerle eğri uydurma metodu (2.72) genel ifadesine uygulanarak daha doğru olarak bulunacaktır. Tutulan yol 2.2.2.2 alt bölümünde anlatılan yolun aynısıdır ancak parametre

sayısı biraz artmıştır. Özette,

$$\sum_j (y(x_j) - y_j)^2 = F(a, b, d, f, g, h) = \text{minimum} \quad (2.82)$$

$$F = \sum_j (a \cdot e^{-bx_j} + de^{-fx_j} \cdot \sin(gx_j + h) - y_j)^2 = \text{minimum} \quad (2.83)$$

$$\frac{\partial F}{\partial a} = 2 \cdot \sum_j (a \cdot e^{-bx_j} + de^{-fx_j} \cdot \sin(gx_j + h) - y_j) \cdot e^{-bx_j} = 0 \quad (2.84)$$

$$\frac{\partial F}{\partial d} = 2 \cdot \sum_j (a \cdot e^{-bx_j} + de^{-fx_j} \cdot \sin(gx_j + h) - y_j) \cdot e^{-fx_j} \cdot \sin(gx_j + h) = 0 \quad (2.85)$$

olur. Verilen b, f, g ve h değerleri için (2.84) ve (2.85) eşitlikleri birleştirilirse,

$$E_2 = \sum_j e^{-2bx_j} \quad (2.86)$$

$$E_4 = \sum_j e^{-2fx_j} \cdot \sin^2(gx_j + h) \quad (2.87)$$

$$E_5 = \sum_j e^{-(b+f)x_j} \cdot \sin(gx_j + h) \quad (2.88)$$

$$Y_3 = \sum_j y_j \cdot e^{-bx_j} \quad (2.89)$$

$$Y_4 = \sum_j y_j \cdot e^{-fx_j} \cdot \sin(gx_j + h) \quad (2.90)$$

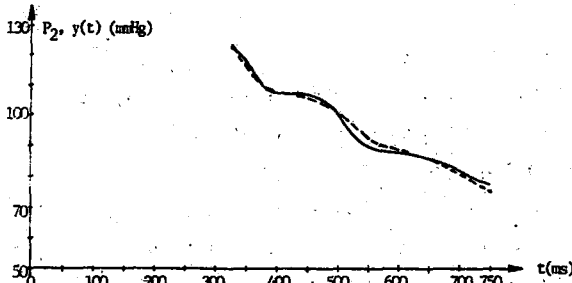
olmak üzere,

$$a = (Y_3 \cdot E_4 - Y_4 \cdot E_5) / (E_2 \cdot E_4 - E_3 \cdot E_5) \quad (2.91)$$

$$d = (Y_4 \cdot E_2 - Y_3 \cdot E_5) / (E_2 \cdot E_4 - E_3 \cdot E_5) \quad (2.92)$$

değerleri karesel hatayı (F' 'i) minimum yapan değerler olarak elde edilir.

İstenirse $y_1(x)$ fonksiyonu için b parametresini ve istenirse $y_2(x)$ fonksiyonu için b, f, g ve h parametrelerini iteratif olarak tarayarak eğri uydurma işlemini yerine getiren "CUR" isimli program ve sonuçları Ek. 1'de verilmiş, referans ve referansa uydurulan eğri Şekil 2.6'da gösterilmiştir. CUR programının sonucu olarak elde edilen a-h parametreleri ile bunlar yardımı ile bulunan C_1 , C_2 , L_1 parametreleri Goldwyn'in (3) bulduğu parametrelerle karşılaştırmalı olarak Tablo 2.2'de verilmiştir.



Şekil 2.6. - Diyastol (gevşeme) süresi boyunca referans basınc eğrisi (sürekli eğri) ve buna uydurulan $y(t)$ fonksiyonu.

Tablo 2.2 Eğri uydurma işlemi sonucu bulunan parametre değerleri.

Parametreler	a	b	c	d	f	g	h
CUR programı sonucu	119,4	1,05	0	-4,39	3,56	37	-1,05
GOLDWYN'in sonuçları	69	3,86	68,5	-13,2	4,07	23,6	1,73

Normalleştirilmiş Devre Parametreleri	C_1	C_2	L_1	R_2	U_3	σ
CUR Programı sonucu	0,84	0,122	0,0067	1	0	1,5
GOLDWYN'in sonuçları	0,19	0,083	0,029	1	68,5	<1

Parametrelerdeki farklılıklar, parametrelerden birinin, U_3 'ün, ortadan kaldırılması sonucu ortaya çıkmıştır. Ayrıca referans olarak seçilen basınc değişimleri de birbirinin aynı değildir.

Eğri uyurma işleminde eğrilerin birbirine ne derece uydugu, aralarında tanımlanacak olan "Standart sapma" değeri ile verilmiştir. Bunun için, uydurulan y ve referans w eğrilerinin bir periyod içindeki örnek farklarını bir rranslantı değişkeni, z , olarak alıp bu farkların standart sapmasını;

$$\sigma = \left(\sum_{i=1}^M (z_i^2 / M) - (\sum_{i=1}^M z_i / M)^2 \right)^{1/2} \quad (2.93)$$

olarak hesaplanacaktır ki bu eşitlikte,

$$z = y - w \quad (2.94)$$

olarak tanımlıdır. CUR programının sonucunda eğriye ait standart sapma, $M=35$ örnek için, $1,5 \text{ mmHg}$ olarak bulunmuştur. Goldwyn ise 1 mmHg 'den küçük standart sapma ile parametreleri bulduğunu makalesinde (3) belirtmiştir.

(2.27) eşitliğinde verilen U_3 'yi de parametrelerin arasına sokarak, $U_3 > 0$ için yeniden düzenlenen CUR programı yardımıyla eğri uydurma işlemi yerine getirildiğinde, Tablo 2.3'de gösterilen parametre değerleri elde edilmiştir ki bu değerler $U_3 = 0$ yapılarak bulunan parametre değerlerine göre Goldwyn'in bulduğu parametre değerlerine daha yakındır ve bu durumda standart sapma da $0,74 \text{ mmHg}$ gibi küçük bir değer çıkmıştır.

Tablo 2.3 $U_3 > 0$ için bulunan parametre değerleri.

C_1	C_2	L_1	R_2	U_3	σ
0,225	0,126	0,0113	1	59,6	0,74

Ancak, gerek yapay sistemde toplardamarları benzetme yoluna gidilmeyeceği ve gerekse getireceği diğer üstünlüklerden (ortalama debi ölçebilme, sıvıdan her an örnek alabilme ya da sıviya birşeyler katabilme) yararlanılacağı düşünücsesi ile sistem, R_2 elemanından sonra bir depo yardımıyla atmosfere açılacak, yani $U_3 = 0$ durumu ele alınacaktır.

Parametrelerin daha doğru değerleri, akım kaynağının da devreye sokulduğu bir sonraki alt bölümde elde edilmiştir.

2.2.2.4 C_1 , C_2 , L_1 , R_2 PARAMETRELERİN EN SON ELDE EDİLEN DEĞERLERİ

Şekil 2.5'de gösterilen referans basınç eğrisini tümüyle model çıkışında elde edebilmek için kaynak akımının, sistol süresindeki değişimini de gözönünde bulundurmak gereklidir. Ancak, sistol süresinde sadece kaynak değil, hem kaynak ve hem de devre parametreleri etkili olduğundan referans basınç eğrisinin diyastol süresindeki parçasının uydurulması ile bulunan devre parametreleri hala kesin değerlerinde değildir. Yapay sistemde kullanılan pompa rıjıt malzemeden yapılmış olduğundan kaynak, tam olarak akım kaynağı alınacaktır. Modele uygun akım kaynağının akımının değişim şekli ve aynı zamanda devre parametrelerinin

daha doğru değerleri, modele ait devre denklemlerinin nümerik çözümü ile bulunan model çıkış geriliminin, referans olarak seçilen basınç değişimine (Şekil 2.5), tam bir periyodluk süre içinde uyması sağlanacak şekilde belirlenecektir. (2.19-24) eşitlikleri ile verilen devre diferansiyel denklemleri bilgisayar (IBM 4331) yardımıyla nümerik olarak 4. derece Rungé-Kutta (24) metodu ile çözülecek ve eğri uydurmada kriter gene en küçük kareler metodu olacaktır.

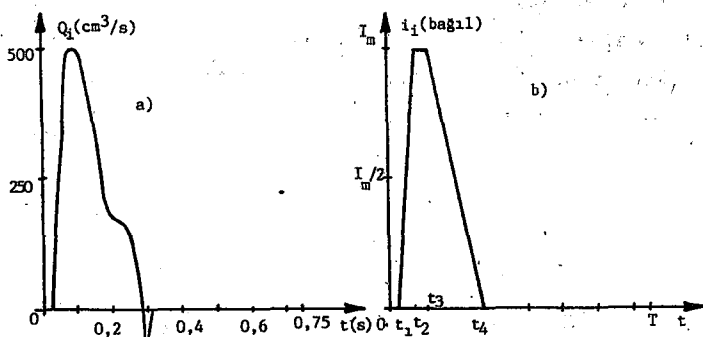
Devre diferansiyel denklemleri yeniden yazılacak olursa,

$$du_1 / dt = (i_i - i) / C_1 \quad (2.95)$$

$$du_2 / dt = - u_2 / (R_2 C_2) + i / C_2 \quad (2.96)$$

$$di / dt = (u_1 - u_2) / L_1 \quad (2.97)$$

şeklindedir ve durum değişkenlerini etkileyen parametre sayısını i_i , C_1 , C_2 , L_1 , R_2 olarak beş tanedir. Bu parametrelerden i_i , akım kaynağının akımını olarak zaman içinde değişkendir. Schaaaf'ın makalesinden (1) referans olarak seçilen kalp çıkışı debi değişim şekli ile kaynak akımının seçilen değişim şekli (Şekil 2.7) de gösterilmiştir.



Şekil 2.7 - a) Schaaaf'ın makalesinden (1) referans olarak seçilen kalp çıkışı debi değişim, b) Modelde kabul edilen kaynak akımı değişim şekli.

Şekil 2.7'de gösterilen kaynak akımının, I_m ve t_1 , t_2 , t_3 , t_4 parametreleri cinsinden analitik ifadesi,

$$i_1(t) = \begin{cases} 0 & 0 \leq t_1 \\ \frac{(t - t_1) \cdot I_m}{(t_2 - t_1)} & t_1 \leq t \leq t_2 \\ I_m & t_2 \leq t \leq t_3 \\ \frac{(t_4 - t) \cdot I_m}{(t_4 - t_3)} & t_3 \leq t \leq t_4 \end{cases} \quad (2.98)$$

şeklinde yazılabilir. Böylece zaman içinde değişken i_1 akımı, zaman içinde sabit t_1 ve I_m parametrelerine dönüştürülmüş olur.

Şekil 2.7'b'deki akım değişiminin tepe değeri,

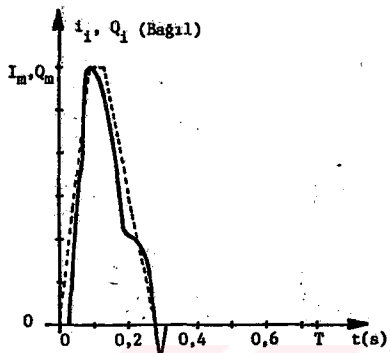
$$I_m = 100A \quad (2.99)$$

için gerek devre parametrelerini ve gerekse t_1 parametrelerini iteratif olarak değiştirerek eğri uydurma işlemini gerçekleştiren bir program, "ITR", ve sonuçları Ek.2'de verilmistir. Yalnız burada referansa uvdurulan eğri olarak $y(t)$ fonksiyonu yerine 2.95-97 diferansiyel denklemlerinin Runge-Kutta metodu ile çözümü olarak bulunan u_2 değişimi kullanılmıştır.

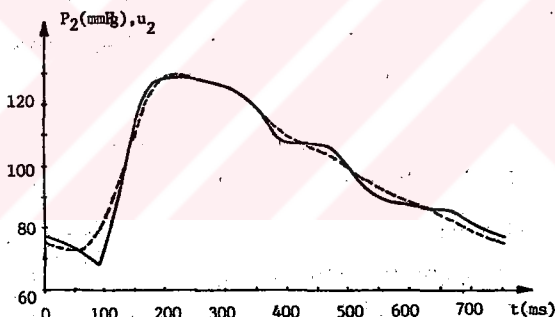
Eğri uydurma işleminin sonucu olarak elde edilen parametre değerleri Tablo 2.4'de, referans kaynak akımı ile karşılaştırmalı olarak ITR programından elde edilen kaynak akımı ve referans basınç değişimi ile karşılaştırmalı olarak elektriksel modele ait u_2 gerilimi değişimi sırası ile Şekil 2.8 ve Şekil 2.9'da gösterilmiştir. Bir T periyod süresi boyunca uydurulan model çıkış işaret değişimi için standart sapma, $M= 60$ örnek için, 2,8 mmHg olarak elde edilmiştir.

Tablo 2.4 - ITR Programının sonucu.

C_1 (cm^3/mmHg)	C_2 (cm^3/mmHg)	L_1 ($\text{mmHg.s}^2/\text{cm}^3$)	R_2 ($\text{mmHg.s}/\text{cm}^3$)	U_3 (mmHg)	σ (mmHg)
0,172	0,0218	0,0316	4,69	0	2,8
t_1 (ms)	t_2 (ms)	t_3 (ms)	t_4 (ms)	T (ms)	I_m (cm^3/s)
0	90	130	280	750	100



Şekil 2.8 - Referans kalp çıkıştı debi değişimi (sürekli eğri) ve ITR programı sonucu olarak elde edilen modele ait kaynağın akım değişimi.

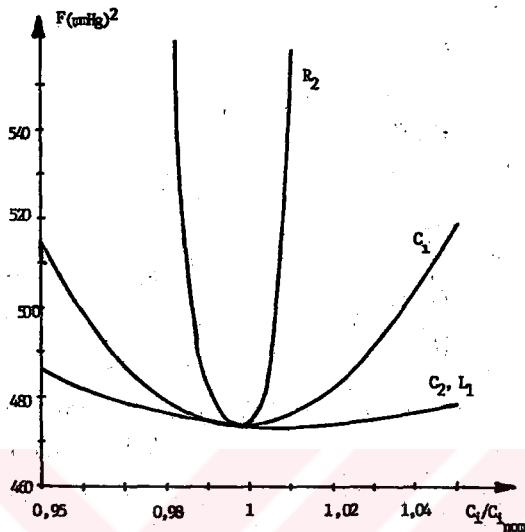


Şekil 2.9 - Referans basınç eğrisi (sürekli eğri) ve ITR program çıkışısı.

Program ITR'den ayrıca devre parametrelerinin yüzde değişimlerine göre karesel hata değişimlerini elde etmek mümkündür ve bu değişimler Şekil 2.10 da gösterilmiştir. Bu değişim şekline bakıldığından karesel hataya en etkili parametre R_2 dir, sonra C_1 ve daha sonra C_2 ve L_1 gelmektedir. Ayrıca sistemin öz titresim frekansını,

$$f_0 = (1/2 \pi) \cdot ((C_1 + C_2) / (C_1 \cdot C_2 \cdot L_1))^{1/2} \quad (2.100)$$

olarak hesaplamak mümkündür ve Tablo 2.4 de verilen parametrelerle bu frekans, $f_0 = 6,4$ Hz (2.101) dir.



Şekil 2.10 - Eğri uydurma işleminde karesel hatanın devre parametrelerine göre değişimi.

2.3 ANALOG BİLGİSAYAR YARDIMI İLE MODELLEME

Şekil 2.3 de göstirilen elektriksel büyüklükler etkiyen parametrelerin (C_1 , C_2 , L_1 , R_2 , t_1 , t_2 , t_3 ve t_4) sayısı 8 gibi büyük bir rakam iken bu parametrelerin gerçek değerlerine 2.2.1 ve 2.2.2 alt bölümlerinde belirtildiği gibi yaklaşmak oldukça zahmetli ve zaman alıcıdır. Üstelik bu parametrelerin model çıkış büyütüklerinin zaman içindeki değişimlerine nasıl etki ettiğine hemen karar vermek oldukça zordur. Eğer model, bir analog bilgisayar üzerinde kurulursa, hem model parametrelerini potansiyometreler yardımı ile kolayca değiştirmek ve hem de anında çıkış büyütüklerinin değişimlerini hafızalı bir osilaskop yardımı ile gözlemek mümkün olacağını, eğri uydurma işlemini sırif karesel hata sonucuna bağlamaktan kurtulmuş ve de devre parametrelerinin model çıkış büyütükleri üzerindeki etkilerini daha yakından izlemiş oluruz.

2.3.1 MODEL

Bu amaca hizmet edecek modeli, analog bilgisayar (EAI 180) üzerinde gerçeklemeğ üzere (2.95-97) eşitlikleri tekrar ele alınacak ve fakat bu

eşitliklerdeki durum değişkenleri (u_1 , u_2 , i) yerine modelde bulunacak integratörlerin çıkış gerilimleri (v_1 , v_2 , v_3) karşı düşürülecektir. Yalnız bu karma düşürme işlemi belli çarpanlar üzerinden olacaktır.

$$u_1 = \alpha \cdot v_1 \quad (2.102)$$

$$u_2 = \alpha \cdot v_2 \quad (2.103)$$

$$i = \beta \cdot v_3 \quad (2.104)$$

Giriş büyüklüğüne, i_i ye, de v karşı düşürülürse,

$$i_i = \beta \cdot v \quad (2.105)$$

bilgisayara ait devre denklemleri,

$$\frac{dv_1}{dt} = -(\beta / \alpha C_1) \cdot (v_3 - v) \quad (2.106)$$

$$\frac{dv_2}{dt} = -(\beta / \alpha C_2) \cdot (\alpha v_2 / \beta R_2 - v_3) \quad (2.107)$$

$$\frac{dv_3}{dt} = -(\alpha / \beta L_1) \cdot (v_2 - v_1) \quad (2.108)$$

şekline girer.

$$u_{1\max} = u_{2\max} = 200 \text{ mmHg} \quad (2.109)$$

$$i_{\max} = i_{i\max} = 100 \text{ cm}^3/\text{s} \quad (2.110)$$

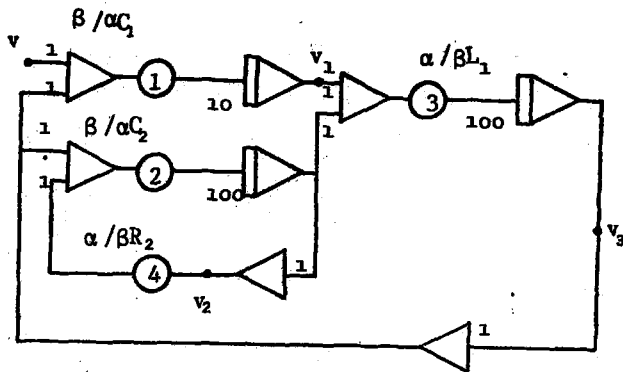
$$v_{1\max} = v_{2\max} = v_{3\max} = v_{\max} = 10 \text{ V} \quad (2.111)$$

sınır değerleri için,

$$\alpha = 20 \text{ (mmHg/V)} \quad (2.112)$$

$$\beta = 10 \text{ (cm}^3\text{s}^{-1}/\text{V)} \quad (2.113)$$

bulunur. (2.106-108) eşitlikleri yardımıyla elde edilen bilgisayar modeli Şekil (2.11) de verilmiştir.



Şekil 2.11 - Sistemin analog bilgisayar modeli.

Tablo 2.4 de verilen devre parametreleri ve (2.112-113) eşitliklerinde verilen α, β değerleri yardımıyla Şekil 2.11'deki analog bilgisayar modelindeki potansiyometre değerleri (r_1, r_2, r_3 ve r_4) hesaplanabilir.

$$\beta / \alpha C_1 = 2,91 \quad (2.114)$$

$$\beta / \alpha C_2 = 22,9 \quad (2.115)$$

$$\alpha / \beta L_1 = 63,3 \quad (2.116)$$

$$\alpha / \beta R_2 = 0,427 \quad (2.117)$$

olduğuna, potansiyometre değerlerinin 1'den büyük olamayacağına göre bu değerler ancak,

$$r_1 = 0,291 \quad (2.118)$$

$$r_2 = 0,229 \quad (2.119)$$

$$r_3 = 0,633 \quad (2.120)$$

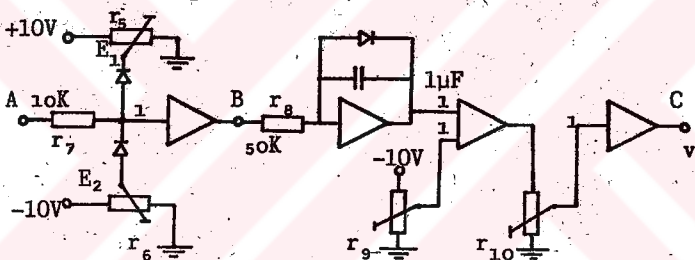
$$r_4 = 0,427 \quad (2.121)$$

olabilir. Bu durumda, (2.114-117) eşitlikleri, potansiyometrelerden sonra gelen integratör veya toplayıcıların kazançları uygun seçilerek sağlanır.

(2.106-108) eşitlikleri daha akıllıca yeniden düzenlenerek Şekil 2.11'de verilen modeli daha basitleştirmek (eleman sayısını azaltmak) mümkün ise de, burada bu basitleştirme yapılmayarak her bir potansiyometrenin elektriksel modelin sadece bir devre parametresine karşı düşmesi üstünlüğünden yararlanılmıştır.

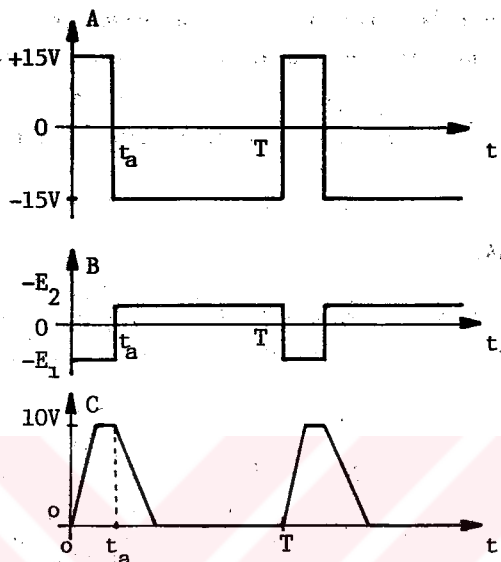
2.3.2 MODEL İÇİN v KAYNAĞI

v kaynağının gerilim değişim şékilinin Şekil 2.7.b'deki gibi olmasını sağlayacak bir devre Şekil 2.12 de görülmektedir.



Şekil 2.12 - v değişiminin Şekil 2.7.b'deki gibi olmasını sağlayan devre.

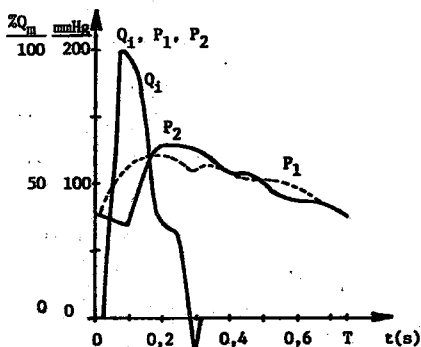
Şekil 2.12'deki A, B ve C noktalarındaki gerilim değişim şékilleri Şekil 2.13'de görülmektedir. A noktasına pozitif ve negatif genlikleri eşit olan dik-dörtgen biçimli işaret, bir darbe üreticisi (HP 3311 A) tarafından uygulanmaktadır. r_5 ve r_6 potansiyometreleri A giriş işaretini üstten ve alttan kırmakta kullanılır. r_5 potansiyometresi yardımıyla E_1 gerilimi değiştirilerek C noktasındaki işaretin, yani v kaynağının, ön kenar eğimi değiştirilir. t_a zamanı ve T periyodu býrbirinden bağımsız olarak üreteç aracılığı ile ve v kaynak işaretinin arka eğimi ise E_2 gerilimi yani r_6 potansiyometresi ile ayarlanabilir. Şekil 2.12 deki ikinci integratörün giriş çıkışı arasına bağlı diyon integratör çıkış geriliminin negatife geçmesini önlemek için konmuştur. r_9 potansiyometresi, v işaretinin sıfır seviyesini, r_{10} ise v 'nin genliğini ayarlamak için kullanılmıştır.



Şekil 2.13 - Şekil 2.12'deki devrenin çeşitli noktalarındaki gerilim değişimleri.

2.3.3. MODEL ÇIKIŞI

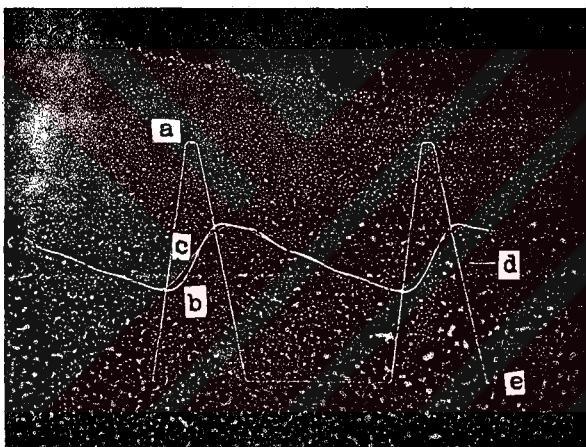
Model çıkışından beklenen gerilimler Şekil 2.8'de verilen işaret boyutlarında giriş referans işaret ile birlikte toplu olarak Şekil 2.14'de gösterilmiştir. Referans işaretinin bu boyutlara indirilmesinde amaç, sistem ya da



Şekil 2.14 - Referans debi ve basınç egrileri.

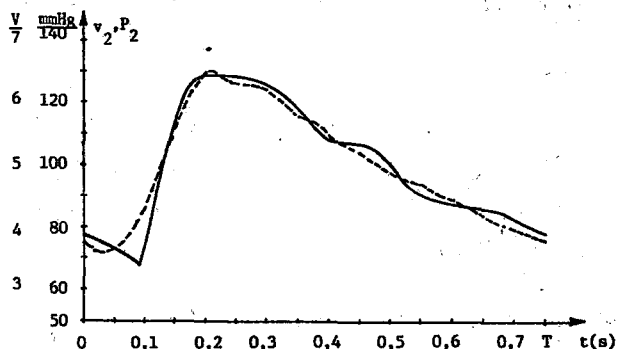
analog bilgisayardan elde edilen çıkışların bu referans işaretleri ile osiloskop ekranında karşılaştırılabilmesini sağlamak içindir.

Model, bir analog bilgisayarda kurulmuş ve Tablo 2.4'deki devre parametreleri için modelden alınan işaretler, Şekil 2.15'de hafızalı bir osilaskop'dan (Tektronix 5111), alınmış bir fotoğraf olarak gösterilmektedir. Şekil 2.16'da ise v_2 geriliminin Şekil 2.5'de verilen referans basıncı eğrisi ile karşılaştırılmış olarak değişimi gösterilmektedir. v_2 nin referans eğrisine benzerliği, Şekil 2.9'da verilen u_2 nin referans eğrisine olan benzerliği kadar olduğu, bu eğri çiftleri karşılaştırılarak görülebilir.



$$\begin{aligned}r_1 &= 0,291 \\r_2 &= 0,229 \\r_3 &= 0,633 \\r_4 &= 0,427 \\\text{d)} \quad 100 \text{ mmHg} \\&\text{e)} \quad 0 \text{ mmHg ve } 0 \text{ cm}^3/\text{s}\end{aligned}$$

Şekil 2.15 - Tablo 2. deki devre ve kaynak parametreleri için analog bilgisayardaki dolaşım modelinden alınan a) giriş işaretti v değişimi, b) v_2 ve c) v_1 gerilim değişimleri.

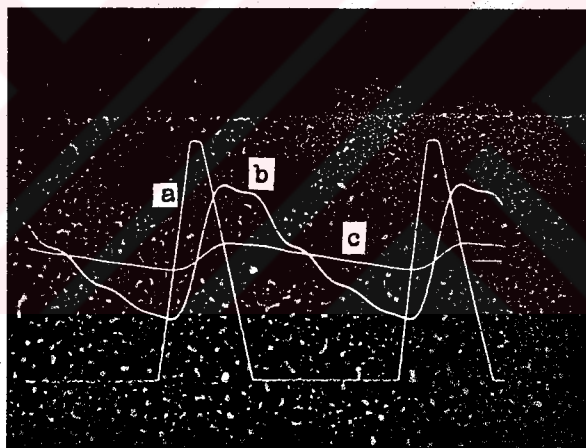


Şekil 2.16 - Analog bilgisayar üzerine kurulan modelde Tablo 2.4'deki parametre değerleri ile elde edilen v_2 gerilimi ve karşılaştırma için referans P_2 basıncı değişimi (sürekli eğri).

2.3.4. DEVRE PARAMETRELERİNİN ÇIKIŞ İŞARETİ ÜZERİNE ETKİLERİ

Devre parametrelerinin v_2 çıkış büyütüğünün değişim şéklü üzerinde yaptıkları değişiklikleri gözlemek amacı ile her seferinde parametrelerden biri, Şekil 2.11'deki potansiyometrelerden biri, değiştirilerek modelden elde edilen v_2 gerilimi değişim şékilleri Şekil(2.17-20)'de gösterilmiştir. Bu değişim şékillерinden elde edilen sonuçları söyle özetleyebiliriz (parametrelerin normal değerleri (2.118-121) eşitliklerinde verildiği gibidir):

i) C_1 değişimini, ortalama değeri değiştirmek şartıyla, v_2 geriliminin genliğine etki etmektedir. C_1 küçüldükçe, yani modeldeki r_1 büyükçe v_2 genliği artmaktadır, Şekil 2.17.

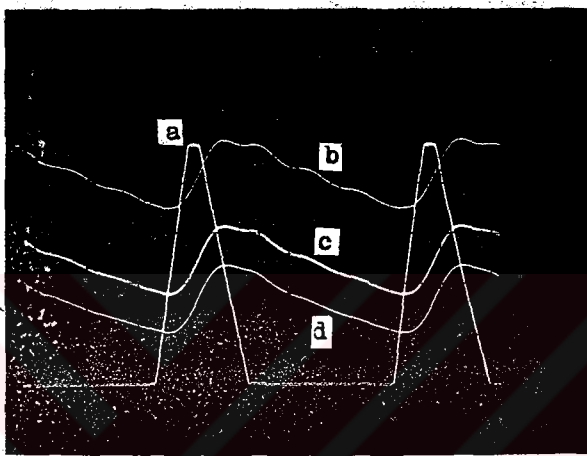


Şekil 2.17 - C_1 değişiminin çıkış büyütüğüne, v_2 'ye etkisi a) v giriş gerilimi, b) $r_1 = 0,7$ ve c) $r_1 = 0,1$ için çıkış gerilimleri.

ii) Şekil 2.18'de R_2 nin değişiminin v_2 üzerindeki etkisi görülmektedir. Daha önce (2.67) eşitliğinde de belirtildiği gibi giriş kaynağının genliği ve değişim şéklı değişmediği yani,

$$\bar{I}_1(t) = St. \quad (2.122)$$

kaldığı için R_2 'deki değişim, v_2 işaretinin ortalamasına etki edecektir. Şekil 2.18'de R_2 arttıkça v_2 'nin genlik ekseninde yukarı doğru ötelendiği ve fakat genliğinin ve değişim şéklinin pek bozulmadığı görülmektedir.



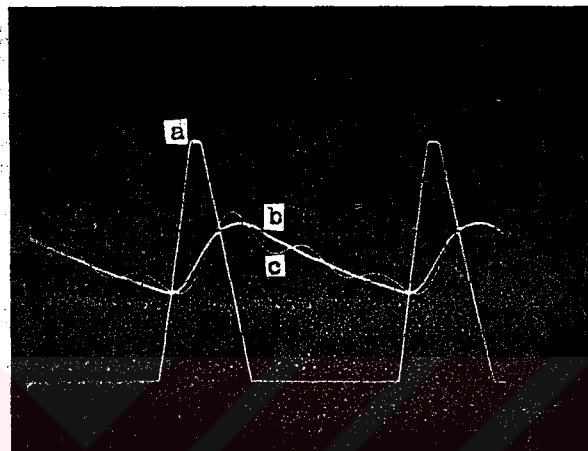
Şekil 2.18 - R_2 değişiminin v_2 üzerine etkisi b) $r_4 = 0,25$, c) $r_4 = 0,427$, ve d) $r_4 = 0,63$.

iii) Tablo 2.4'den görüldüğü gibi C_1 , C_2 den daha büyütür. (2.100) eşitliğinde C_1 yanında C_2 ihmal edilirse bu eşitlik,

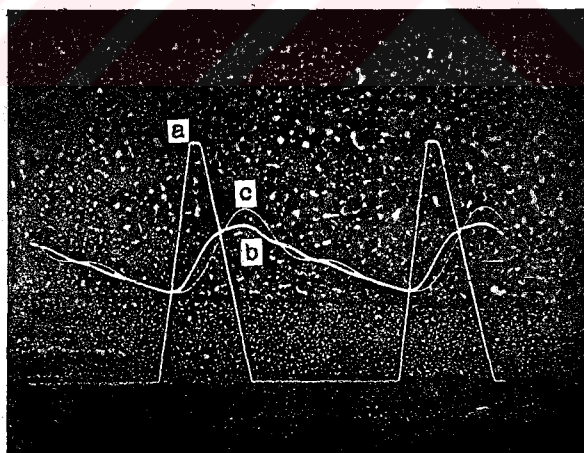
$$f_0 = \left(\frac{1}{2\pi} \right) \cdot \left(\frac{1}{L_1 C_2} \right)^{1/2} \quad (2.123)$$

şeklinde yazılabilir. Bu ise L_1 ve C_2 'nin v_2 geriliminin diyastol kısmının titreşim frekansına etki edeceğini gösterir. Şekil 2.19'da C_2 arttıkça yani r_2 azaldıkça v_2 gerilimindeki titreşimlerin genliğinin de arttığı görülmüyor.

iv) Şekil 2.20'de L_1 arttıkça, r_3 azaldıkça, v_2 'nin ön kenarının zaman ekseninde sağa doğru kaydığını, gecikme olduğu ve diyastol süresindeki titreşimlerin genliğinin arttığını ve frekansının azaldığını görülmüyor.



Şekil 2.19 - C_2 değişiminin v_2 üzerine etkisi. Dalgalı ince eğri c için
 $r_2 = 0,1$ ve diğer için, b, $r_2 = 0,6$.



Şekil 2.20 - L_1 değişiminin v_2 üzerine etkisi. Dalgalı ince eğri için,
 $c, r_3 = 0,2$ ve diğer için, b, $r_3 = 1,0$.

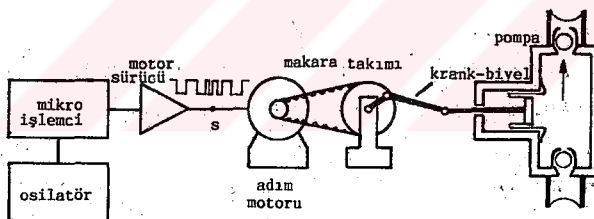
BÖLÜM 3

POMPA VE SÜRÜCÜ DÜZEN

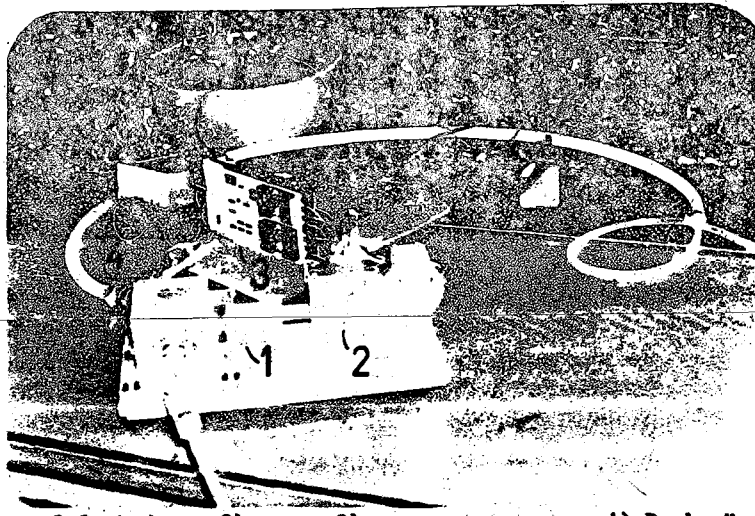
Bu bölümde yapay dolasım sisteminin temel elemanı olan pompanın ve pompayı süren mekanizmanın çalışma şekli anlatılacaktır. Pompanın sürdüğü, damar görevi gören boru takımı ise 5. bölümde anlatılacaktır.

3.1. POMPA

Sistemin kalbini oluşturan pompa, pistonu ve iki kapaklısı olup plexiglasdan yapılmıştır ve sürücü mekanizması ile birlikte Şekil 3.1 de şematik olarak gösterilmiştir. Şekil 3.2 de pompa ve sürücü mekanizmasından alınmış bir fotoğraf bulunmaktadır. Ek.5 da ise pompanın kesit resmi verilmiştir.



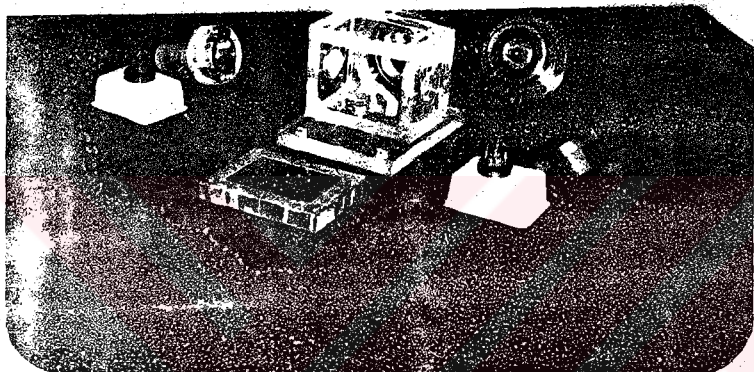
Şekil 3.1 - Pompa ve sürücü mekanizması.



ve 4) Darbe üreteci.

Pawel (7,8), Swanson (17,18) ve meslektaşları da çalışmalarında benzer bir pistonlu pompa kullanmışlar, yalnız Pawel, pompayı "Kam" adı verilen ve profili, bir eksen etrafında hareket ettikçe pistona darbeli öteleme hareketi veren bir disk yardım ile, Swanson ise kranc-biyel mekanizması ve rotoru sabit hızla hareket eden ve fakat bir yay aracılığı ile piston geri çekildikçe zorlanıp yavaşlayan bir motor yardımıyla sürmeye çalışmışlardır. Bu çalışmada ise kranc-biyel mekanizması ile piston, hızı mikroişlemci kontrolü altında değiştirilebilen bir adım motoruna bağlıdır ve pistona verilmesi gereklili darbe, bir vurum periyodu içinde değişken olan bu motor hızı yardımıyla sağlanmaktadır. Adım motorunun hızı, girişine uygulanan ve bir mikroişlemci aracılığı ile bir program dahilinde üretilen elektriksel darbe katarının frekanrı ile değiştirilmektedir. Frekans o şekilde değiştirilir ki pompanın aort tarafına fırlattığı sıvının debisi Şekil 2.7.b'de verilen eğriye uygun olarak değişir. Bu ise akışkanın sıkıştırılamaz olduğu ve kapakçıkların geri sıvı kaçırmadığı kabulu ile (2.16) eşitliği gözönüne alınarak sistol süresindeki pompa içi hacminin, ya da piston, kesit alanı sabit olan silindir içinde hareketli olduğuna göre sistol süresindeki piston yer değiştirmeye miktarının, Şekil 2.7.b'de verilen debi değişiminin integrali ile orantılı olarak değiştirilmesini gerektirir.

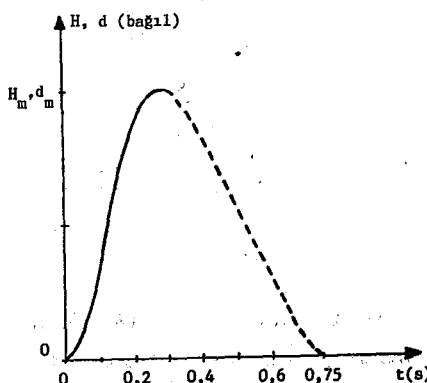
Pompa pistonunun hareket ettiği silindirin iç çapı 5 cm olup silindirin boyu 6 cm kadardır. Pistonun maksimum yer değiştirmeye miktarı ya da vurum hacmi, makara takımına bağlı krancın boyu ile değiştirilebilmektedir. Piston çapı 4,7 cm kadardır. Pistona bağlı olan ve kendi üzerinde yuvarlanabilen bir diyafram (bellofram) ile sızdırmazlık ve aynı zamanda pistonun hareket kolaylığı sağlanmıştır. Pompa plexiglasdan yapılmış olup, bu sayede kapakçıkların çalışması ve pompa içi hava kabarcıklarının olup olmadığı gözlenebilir. Kapakçık olarak, bir tel kafes içinde hareketli olan ve pistonun hareket yönüne (daha doğrusu pompa içi basıncının boru içi basıncından olan büyüğüğünne) göre 19 mm çapında bir deliği açan ya da kapatan küresel bir plastik top kullanılmıştır. Şekil 3.3'de pompanın açılmış şekli ve kapakçıklar görülmektedir.



Şekil 3.3 - Pompayı oluşturan temel parçalar ve kapakçıklar.

3.2 PİSTONUN YER DEĞİŞİRTME HAREKETİNİN ZAMANA GÖRE DEĞİŞİM ŞEKLİ

3.1 alt bölümünden, pompa içi hacim değişiminin ya da piston yerdeğiştirme hareketinin pompa çıkış debi değişiminin integrali olarak belirli olduğu açıklanmıştır. Bu bilgi ışığında Şekil 3.4'de, Şekil 2.8'deki debi değişimin integrali olarak hesaplanmış pompa içi hacim ya da piston yerdeğiştirme hareketinin değişim şékli gösterilmektedir. Debiden hacma geçiş bağıntısı olarak, debiden Δt zaman aralıklarında alınan örnekler cinsinden,



Şekil 3.4 - Şekil 2.8'deki modele ait debi değişiminin verecek olan pompa içi bağıl hacim değişimi.

$$H(1) = 0 \quad (3.1)$$

$$H(i+1) = H(i) + (Q(i) + Q(i+1)) \cdot \Delta t / 2 \quad (3.2)$$

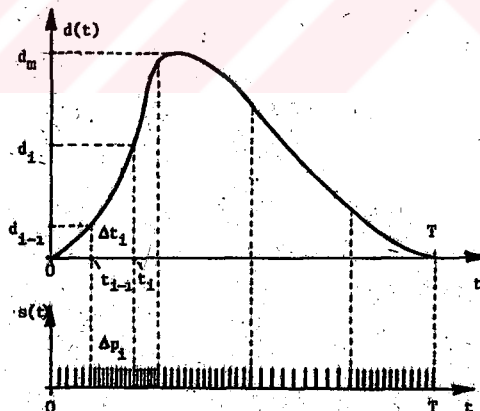
$$\Delta t = 12,5 \text{ ms} \quad (3.3)$$

$$i = 2, 3, 4, \dots, 61 \quad (3.4)$$

eşitlikleri kullanılmıştır. Şekil 3.4'deki kesikli çizgiler, diyastol süresindeki pistonun geri çekilis değişimidir ve diyastolde aort kapakçığı kapalı olduğundan bu değişimin şeklinin aort basıncı üzerindeki etkisi yok farzedilmektedir.

3.3 ADIM MOTORUNA UYGULANAN İŞARETİN FREKANSININ DEĞİŞİMİ

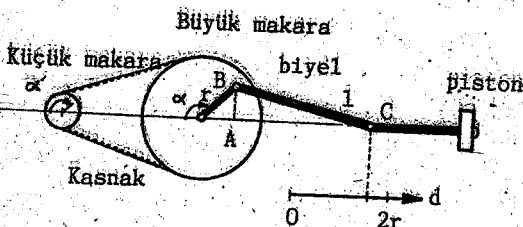
Şekil 3.5'de, motora uygulanan işaretin ($s(t)$ 'nin) frekansı ile piston yerdeğiştirme miktarının zamanla değişim şekli örneklenmiş olarak (ve fakat ölçeksiz olarak) yeniden verilmiştir.



Şekil 3.5 - Zamanla göre bağıl yerdeğiştirme eğrisi ($d(t)$) ve motora uygulanan işaretin ($s(t)$ 'nin) frekansının yerdeğiştirme eğrisinin eğimine bağlı olarak değişimi.

Şekil 3.5'den anlaşılabileceği gibi yerdeğiştirme eğrisinin eğimi ne kadar büyük ise piston yerdeğiştirme miktarının, verilen Δt_1 süresinde o kadar büyük olması gerekeceğinden motora uygulanan işaretin frekansı da bu süre içinde o derece büyük olmalıdır.

Şekil 3.6'da ise yerdeğistirme d , ile işaret frekansı f , arasındaki ilişki kurabilmek için makara takımı, kranc-biyel mekanizması ve piston, sematik olarak yeniden gösterilmüştür.



Şekil 3.6-Krank-biyel mekanizması çalışmasını açıklayıcı şekil.

Makara takımı, gerek moment kazanmak ve gerekse motoru gürültüsü daha az olan yüksek devirlerde çalıştırılabilmek için kullanılmış ve makaralar arası bağlantı, makaralar arası faz kaymasını önlemek amacıyla bir dişli-kasnak ile sağlanmıştır. Şekil 3.6'daki bazı büyüklüklerde-ait değerler,

$$\text{Makara çevirme oranı} = k_1 = 1/4 \quad (3.5)$$

$$\text{Biyel uzunluğu} = l = 16 \text{ cm} \quad (3.6)$$

$$\text{Krank uzunluğu} = r = 0,5 - 2,5 \text{ cm (ayarlı)} \quad (3.7)$$

Şekil 3.6'daki ABC dik üçgeninde Pythagoras bağıntısı uygulanırsa yerdeğistirme ve büyük makara dönde açısı arasında, pistonun alt ölü noktası referans nokta alındığında,

$$l^2 = (r \cdot \sin \alpha)^2 + (l - r + d - r \cdot \cos(180 - \alpha))^2 \quad (3.8)$$

$$d = -l + r \cdot (1 - \cos \alpha) + (l^2 - r^2 \cdot \sin^2 \alpha)^{1/2} \quad (3.9)$$

$$l \gg r \quad (3.10)$$

için,

$$d = r \cdot (1 - \cos \alpha) \quad (3.11)$$

elde edilir. Makaralar arası çevirme oranı,

$$\alpha/d = k_1 = 1/4 \quad (3.12)$$

olduğundan, (3.11) eşitliği, piston yerdeğişimi ile motor dönme açısının arasındaki bağıntı,

$$d = r \cdot (1 - \cos(k_1 \cdot \alpha)) \quad (3.13)$$

seklinde dir. Adım motoru mili, girişine her elektrik darbesi uygulanışında $1,8^{\circ}$ dönmektedir. Bu bilgi bize, motora Δt_i süresinde uygulanan elektrik darbesi sayısı, Δp_i , ile motor mili dönüş açısı arasındaki,

$$\Delta \alpha_i = 1,8 \cdot \Delta p_i \quad (3.14)$$

bağıntısını verir. Belli zaman (Δt_i) içindeki darbe sayısı, işaretin frekansını belirleyeceğinden, (3.11-14) eşitlikleri ve Şekil 3.5 yardım ile motora uygulanan işaretin i. örnek aralığındaki frekansı, f_{p_i} , ile i. örneğe ait piston yerdeğiştirme miktarı d_i , arasındaki ilişki kolaylıkla bulunabilir. Şekil 3.4 ve Şekil 3.5'de gösterilen maksimum yerdeğiştirme,

$$d_m = 10 \text{ mm} \quad (3.15)$$

alınırsa, krant boyu,

$$r = d_m / 2 = 5 \text{ mm} \quad (3.16)$$

olur. t_{p_i} , i. örnek aralığındaki darbelerin periyodu, f_{p_i} , darbe frekansı olmak üzere (3.11-14) eşitlikleri,

$$\alpha_i = \cos^{-1}(1 - d_i/5) \quad (3.17)$$

$$\alpha_{i-1} = \cos^{-1}(1 - d_{i-1}/5) \quad (3.18)$$

$$\Delta \alpha_i = \alpha_i - \alpha_{i-1} \quad (3.19)$$

$$\Delta p_i = \Delta \alpha_i / 0,45 \quad (3.20)$$

$$\Delta t_i = t_i - t_{i-1} \quad (3.21)$$

$$EGIM_i = \Delta \alpha_i / \Delta t_i \quad (3.22)$$

$$t_{p_i} = \Delta t_i / \Delta p_i \quad (3.23)$$

$$f_{p_i} = 1 / t_{p_i} \quad (3.24)$$

şekline girer. Bu eşitlikleri kullanarak verilen yerdeğiştirme eğrisi için örnek aralıklarındaki darbe periyodlarını bulan bir program "MEH" ve Şekil 3.4'deki yerdeğiştirme eğrisi için elde edilen sonucu Ek.3'de verilmiştir.

Program MEH ayrıca yerdeğiştirme eğrisindeki, motorun kaldırılamayacağı hız ve ivmelerde çalışmayı gerektiren düzensizlikleri yokettiği gibi 4. bölümde anlatılacak olan mikroişlemciye yazılı programa, Şekil 3.5'de gösterilen ve frekansı yerdeğiştirme eğrisinin değişim şekline bağlı $s(t)$ işaretini verecek şekilde gerekli veri değerlerini de hesaplar.

Motorun gürlütüsüzce çalışabilmesi için motora verilen darbe frekansı belli bir değerin altına inmemelidir. Ayrıca motor belli bir hızın üzerinde de çalışmayağından motora uygulanan işaretin frekansı üstten de sınırlıdır. Motor, sisteme bağlı olarak çalıştırılmış ve motora uygulanan işaretin frekansının maksimum ve minimum değerleri, ve karşı düşen darbe periyodları,

$$f_{p_{\max}} = 2 \text{ KHz}, \quad t_{p_{\min}} = 0,5 \text{ ms} \quad (3.25)$$

$$f_{p_{\min}} = 0,27 \text{ KHz}, \quad t_{p_{\max}} = 3,7 \text{ ms} \quad (3.26)$$

olarak bulunmuştur. Verilen bu sınır değerler (3.20-23) eşitlikleri kullanılarak EĞİM_i değişkenine yansıtılırsa,

$$\text{EĞİM}_{i_{\max}} = 0,45 / t_{p_{\min}} = 0,9^{\circ}/\text{ms} \quad (3.27)$$

$$\text{EĞİM}_{i_{\min}} = 0,45 / t_{p_{\max}} = 0,12^{\circ}/\text{ms} \quad (3.28)$$

elde edilir. Deneysel olarak ayrıca, bir örnek aralığındaki hızdan hemen onu takip eden örnek aralığındaki başka hız'a geçerken,

$$\Delta t_{\min} = 14 \text{ ms} \quad (3.29)$$

zaman aralığında maksimum,

$$\Delta \text{EĞİM}_{\max} = 0,08^{\circ}/\text{ms} \quad (3.30)$$

kadarlık bir EĞİM değişimine motorun cevap verebildiği gözlenmiştir. Motora bir atım periyodu süresince uygulanacak darbe sayısının ise tam tamina,

$$\Delta p_{top} = 360,4 / 1,8 = 800 \quad (3.31)$$

kadar olduğu da gözden uzak tutulmamalıdır.

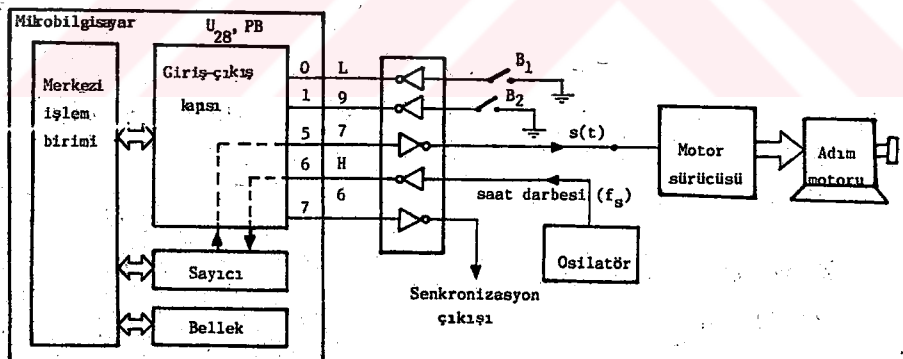
BÖLÜM 4

MİKROİŞLEMÇİ İLE KONTROL

Bu bölümde, 3. bölümde anlatılan ve verilen yerdeğiştirme eğrisini elde edebilmek için zaman içindeki darbe sıklığı, verilen veri değerleri ile değiştirebilen darbe katarının bir mikroişlemci yardımıyla ve bir program dahilinde nasıl elde edildiği anlatılacaktır. Ek.4'de bu programın makina dilinde yazılmış şekli verilmiştir.

4.1 MİKROİŞLEMÇİ

Kullanılan mikroişlemci, "SYNERTEK" olup (Merkezi İşlem Birimi: 6502), çıkış kapılarından biri söz konusu darbe katarının $s(t)$, alınmasında kullanılacaktır. Mikroişlemci ile adım motoru arasındaki bağlantı Şekil 4.1 de gösterilmiştir. Burada mikroişlemci girişine verilen saat darbesi işaretinin frekansını uygun oranlarda bölgerek çıkışında adım motoru için gerekli $s(t)$, (Şekil 3.5) işaretine çevirmektedir. Bu şekli ile mikroişlemci programlı bir sa-



Şekil 4.1 - Mikroişlemcinin basitleştirilmiş yapısı ve mikroişlemci-adım motoru bağlantısı.

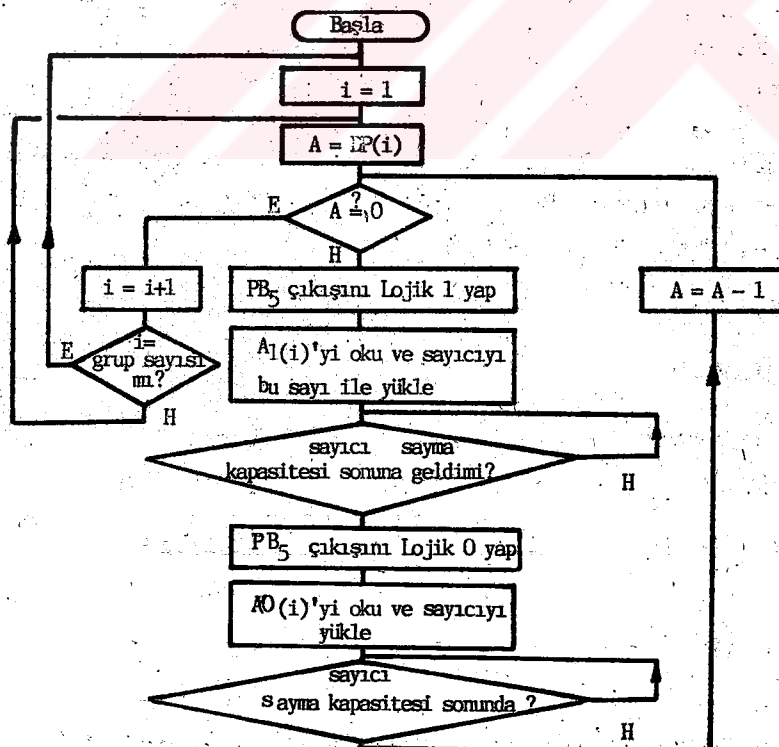
yıcı gibi kullanılarak, $s(t)$ 'nin frekansı zaman içinde değiştirilir ve böylelikle adım motorunun bir atım periyodu içinde değişik hızlarda dönmesi ve dolayısıyla pompa piston hareketinin uygun bir şekil alması sağlanır. Mikroişlemci bu görevi belleginde yazılı bir program ile bünyesindeki bir sayıcının

sayma kapasitesini, gene belleğinin belli bir bölümüne yazılmış veri değerlerine bağlı olarak değiştirmesi ve bu işlemi periyot başlarında birinci veri grubunu seçerek periyodik olarak tekrarlaması ile başarır. Ancak, $s(t)$ darbe katarının Lojik 1 ve Lojik 0 seviyelerinde kaldığı süreler birbirinden bağımsız olarak A_1 ve A_0 verileri ile seçilmektedir ve her gruba ait darbe sayısı (DP) de veri olarak program akışı içinde okunmaktadır. Saat darbesi işaretini olarak, frekansı (f_s), kademeli ve sürekli ayar düğmeleri ile seçilebilen harici bir osilatörün kare dalga çıkış işaretini kullanılmıştır.

Bu amaca hizmet eden program 'LOGIC' bir sonraki alt bölümde, alt bölüm 4.2'de, anlatılmıştır.

4.2 PROGRAM 'LOGIC'

Program 'LOGIC'in basitleştirilmiş akış diyagramı Şekil 4.2'de gösterilmiştir.



Şekil 4.2 – Program LOGIC'in basitleştirilmiş akış diyagramı.

Program LOGIC'de DP(i), frekansı $A_1(i)$ ve $A_0(i)$ sayıları ile belirlenen i. veri grubuna ait darbelerin sayısıdır. Programda ilk önce $i=1$ yapılip birinci işaret grubuna ait darbe sayısı, DP(1), okunarak A' kütüğüne aktarılır. Bu ilk gruba ait darbelerin genişliği t_1 ve darbe aralıkları t_0 kadardır ve bunları sırasıyla A_1 ve A_0 veri elemanları belirler. "A=0 mı?" sorusu ile i. gruba ait zaman aralığında DP(i) adet darbenin oluşturulup oluşturulmadığı sorulur. A=0 ise DP(i) adet darbe oluşturulmuş demektir. Bundan sonra, təkibeden gruba ait DP(i), $A_1(i)$, $A_0(i)$ değerleri seçilmek üzere i değeri 1 artırılır. Eğer i, örnek sayısına eşit olmuş ise $i=1$ yapılarak yeni bir periyot oluşturmak üzere en başa dönülür.

A=0 karşılaştırmasının sonucu "Hayır" ise i. gruba ait pulsardan birini oluşturmak üzere akış diyagramının sağ yarısındaki büyük çevrime girilir. Bu çevrimde önce çıkış olarak seçilen nokta PB₅, Lojik 1 seviyesine çıkarılır ve bu seviyede kalma süresini yani $t_1(i)$ değerini belirleyen $A_1(i)$ sayısı okunarak bu sayı, harici osilatörün frekansı ile geri sayan sayıcıya yüklenir. Sayıcı sıfırlandıktan hemen sonra, PB₅ noktası Lojik 0 yapılır ve bu seviyede kalma süresi $t_0(i)$ ise $A_0(i)$ ile belirlendiğinden sayıcı, saat darbesi işaretini ile bu sayıyı sayana kadar geçen sürede s(t) işaretini Lojik 0 seviyesinde kalmış olur. s(t) işaretinin gerek Lojik 1 ve gerekse Lojik 0'da kaldığı süreler, hem harici osilatör frekansına, f_s , ve hem de sırası ile okunan $A_1(i)$ ve $A_0(i)$ sayılarına bağlıdır.

$$t_1(i) = A_1(i) / f_s \quad (4.1)$$

$$t_0(i) = A_0(i) / f_s \quad (4.2)$$

Saat darbesi frekansı,

$$f_s = 100 \text{ KHz} \quad (4.3)$$

seçildiğinde μs cinsinden t_1 , t_0 değerleri,

$$t_1(i) = 10.A_1(i) \quad (4.4)$$

$$t_0(i) = 10.A_0(i) \quad (4.5)$$

olarak hesaplanır.

Sekil 4.1'de görülen B₁ ve B₂ anahtarları yardımıyla ayrıca dışardan programa etki edilerek programda başlangıç verileri seçilmişken pistonun da

başlangıç konumunda olması yani senkronizasyon şartı sağlanır. Yapılan işlem bir atım periyodundaki toplam darbe sayısı olan $\sum DP(i)$ ile oynamaktır. Bu iş sadece $DP(1)$, + ya da - yönde 10 kadar değiştirilerek yapılır(3.31) eşitliği ile de verildiği gibi bir atım periyodunda motora,

$$DP_{top} = \sum_i DP(i) = 800 \quad (4.6)$$

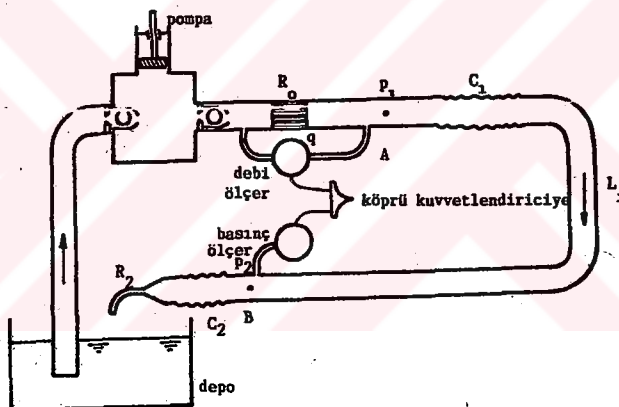
darbe uygulamak gereklidir, aksi takdirde motor mili, bir periyot sonunda başlangıçtaki konumuna gelemeyecektir ve dolayısı ile motor çalışırken başlangıç konumu değiştirilmiş olacaktır.

Program LOGIC'in diğer bir üstünlüğü de, motor program kontrolu altında çalıştırılırken pompa vurum hızının, yer değiştirme eğrisinin şeklini bozmadan, değiştirilebilir olmasıdır. Bu, f_s frekansının değeri başka bir değere getirilerek yapılır. f_s 'in değiştirilmesi, DP_{top} 'da değişme yaratmayacağından piston, başlangıç konumunu muhafaza edecek ve dolayısıyla $s(t)$ işaret grupları arasındaki frekans bağıl olarak aynı kalacağından, yerdeğiştirme eğrisi de bozulmayacağındır.

BÖLÜM 5

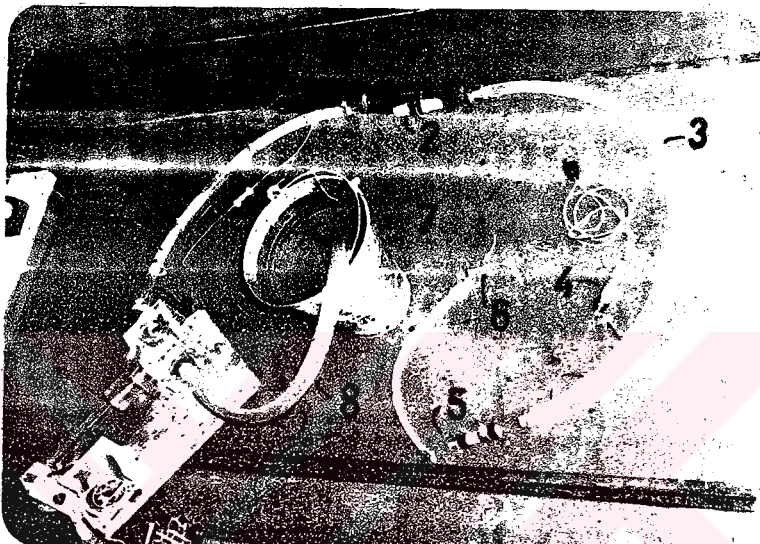
HİDROLİK ELEMANLAR VE HİDROLİK ÖLÇMELER

2. Bölümde dolaşım sisteminin elektriksel bir modeli oluşturulmuş, model parametreleri belirlenmiş ve bu parametrelerin model çıkış büyüğünü, u_2 gerilimi, üzerindeki etkileri incelenmiş idi. Yapay sistemin hidrolik elemanları da, elektriksel modelde verilen toplu parametrelerle uyacak şekilde toplu olarak seçilmiş (Şekil 5.1) ve böylece sistemden istenen p_2 basıncı değişim şekli, birbirinden bağımsız olarak değiştirilebilen hidrolik elemanların değerleri ile, ikinci bölümde elde edilen bilginin ışığında bilinçli olarak, oynanarak elde edilmiştir. Şekil 5.2'de pompa ve sistem elemanları ayrı olarak gösterilmiştir. Bunun yerine hidrolik parametreler rastgele seçiliip, 2.



Şekil 5.1 - Toplu elemanlı yapay dolaşım sistemi ile debi ve basınç ölçme düzenleri.

Bölümde tutulan yol yapay sistem çıkışından elde edilen eğriye uygulanarak bu parametrelerin olması gereken değerlerden olan uzaklığı bulunup ona göre de parametreler değiştirilebilirdi ki bu yorucu ve uzun süren bir iştir. Anlık debi ve basınç ölçme düzenleri 5.2 alt bölümünde ve sistemde vurum hızı, vurum hacmi, R_2 elemanın atmosfere açık ucunun referans yüzeyden olan uzaklığı ve 4.2 alt bölümünde anlatılan senkronizasyon şartının bozulmasının sistem çıkışına olan etkileri 5.3 alt bölümünde anlatılacaktır.



Şekil 5.2 - Yapay sistem parametrelerinin ayrik durumda görünümleri.

- 1) Pompa çıkışına bağlanan debi ölçme düzeni (fark manometresi)
- 2) C_1 elemanı
- 3) L_1 elemanı
- 4) Basınç ölçer (manometre)
- 5) C_2 elemanı
- 6) R_2 elemanı
- 7) Depo
- 8) Pompanın emis yaptığı plastik boru görülmektedir.

5.1 HİDROLİK PARAMETRELERİN BELİRLENMESİ

Yapay sistem, elektriksel modele (Şekil 2.3) uygun olarak toplu elementlerden oluşturulmaya çalışılmıştır (Şekil 5.1 ve Şekil 5.2). Pompa çıkışında debi ölçme düğünden sonra esnek malzemeden yapılmış, ortalama 30 mm çapında ve 13 cm uzunluğunda C_1 elemanı, hemen arkasında sert plastik malzemeden yapılmış 24 mm çapında ve 130 cm uzunluğunda L_1 elemanı, daha sonra 20 mm çapında ve 4 cm uzunluğunda esnek malzemeden yapılmış C_2 elemanı ve en sonda sert plastik malzemeden yapılmış 3 mm iç çapında ve 6 cm uzunluğunda R_2 elemanı kullanılmıştır. R_2 elemanından sonra sistem, sıvayı bir depoya boşaltmaktadır ve pompa diyastol süresinde 25 mm çapında sert bir plastik boru aracılığı ile bu depodan emis yapmaktadır. Sistemde sıvı olarak içine %20 oranında (hacimsel oran) gliserin katılmış arı su kullanılmıştır. Sistem, depo ile birlikte yaklaşık 12 lt sıvı almaktadır. Pompanın emme süpabı ile depodaki serbest yüzeyin kod farkı sıfıra yakın tutulmuştur.

Sistem, Şekil 2.8'de verilen debi değişimini sağlayacak şekilde,

$$n = 80 \text{ atım/dakika} \quad (5.1)$$

hızında çalıştırıldığında, yani atım periyodu,

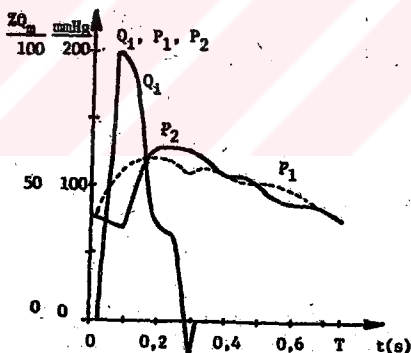
$$T = 0,75 \text{ s} \quad (5.2)$$

olduğunda, pompadan 80 atımda basılan ya da 80 atımda depoda toplanan sıvı hacmi,

$$H_s = 1230 \text{ cm}^3 \quad (5.3)$$

kadardır.

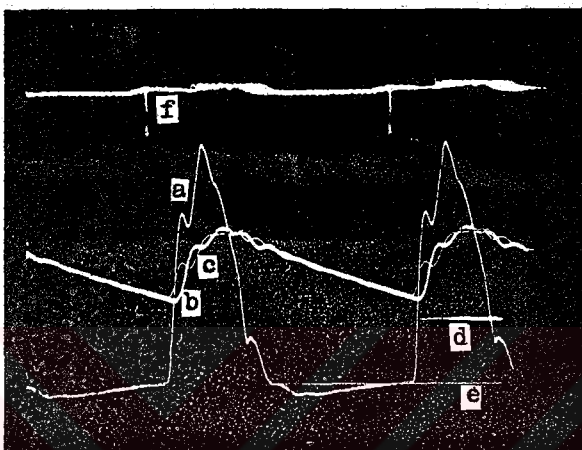
2.2.2.4 alt bölümünde (Şekil 2.10) anlatıldığı gibi modelde u_2 çıkış büyüğünne karşı düşen p_2 basıncı değişim şékline C_1 ve R_2 elemanlarının etkileri, C_2 ve L_1 elemanlarının etkilerine nazaran çok fazladır ve Şekil 5.3'de verilen referans P_2 çıkışına en yakın p_2 değişimi elde edecek şekilde yapay sistemde önce R_2 ve sonra C_1 elemanı ayarlanmış ve sisteme edilen çıkışlar Şekil 5.4'de gösterilmiştir.



Şekil 5.3 - Referans debi ve basınç eğrileri.

C_1 ve C_2 elemanlarının yapıldığı malzeme top iç lastiği olarak seçilmişdir. C_1 olarak $8 \times 13 \text{ cm}^2$ lik bir lastik parçası, uzun kenarları üst üste getirilerek yapıştırılmış ve böylece esnek bir boru elde edilmiştir. C_1 elemanın değeri bu esnek boru etrafına geçirilmiş kelepçeler sıkılarak, R_2 elemanın değeri ise 3 mm çaplı borunun boyu değiştirilerek ayarlanmaya çalışılmıştır ve Şekil 5.4'de elde edilen eğriler için bu boy 6 cm kadardır.

Her seferinde R_2 , C_1 ve C_2 elemanlarından biri değiştirilip diğerleri Şekil 5.4'de gösterilen çıkış değişimlerini veren değerlerinde tutularak yapay



Şekil 5.4 - Sistemden alınan a) q, b) p_2 ve c) p_1 (ince çizgili) eğrileri, e) q ve p' ler için sıfır ekseni d) 48,9 mmHg sabit basıncı.
 $l_{L_1} : 1,3 \text{ m}$, $l_{R_2} : 6 \text{ cm}$, C_1 : iki boğumlu, $C_2 : 0,5 \text{ cm}$.

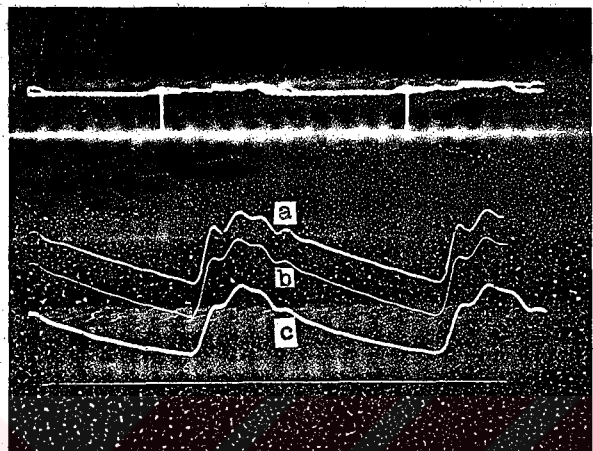
sistemden elde edilen p_2 değişim şekilleri sırasıyla Şekil 5.5-7'de gösterilmiştir. Hidrolik parametrelerin çıkış p_2 basıncı üzerindeki etkileri 2.3.4 alt bölümünde verilen elektriksel parametrelerin v_2 çıkış gerilimi üzerine olan etkilerine oldukça benzemektedir.

Şekil 5.4'deki p_1 , p_2 çıkış çifti Şekil 5.3'de verilen referans P_1 , P_2 çıkış çifti ile karşılaştırıldığında, yapay sistemden elde edilen p_2 nin p_1 'e olan ön kenar gecikmesi oldukça azdır. Bu gecikmeyi sağlayacak olan eleman 2.3.4 alt bölümünde de belirtildiği gibi L_1 elemanıdır. Yapay sistem parametresi Şekil 5.4'de verilen değerlerinde tutularak ve sadece L_1 elemanın boyu,

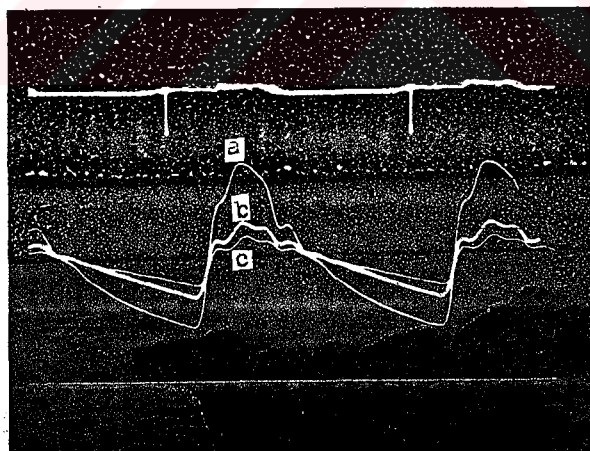
$$l_{L_1} = 500 \text{ cm} \quad (5.4)$$

yapılarak sistemden elde edilen çıkışlar Şekil 5.8'de gösterilmiştir. Bu şekilde görüldüğü gibi p_1 ve p_2 ön kenarları arasında yeteri kadar bir gecikme sağlanmıştır. Elde edilen parametre büyüklükleri gerçek dolaşım sistemi büyüklükleri ile karşılaştırıldığında su sonuçlar elde edilir. Aort ve ana uzantılarının boyu kabaca,

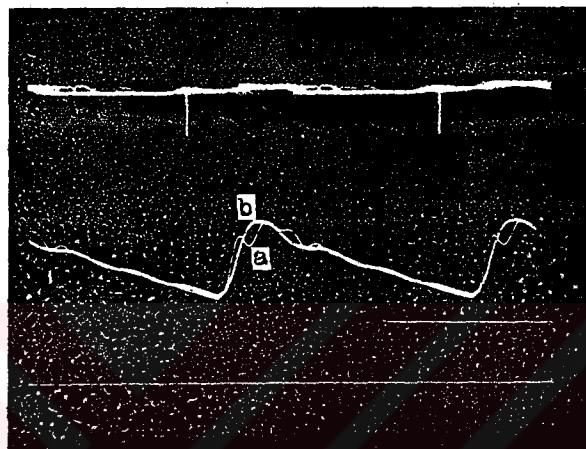
$$l_A = 100 \text{ cm} \quad (5.5)$$



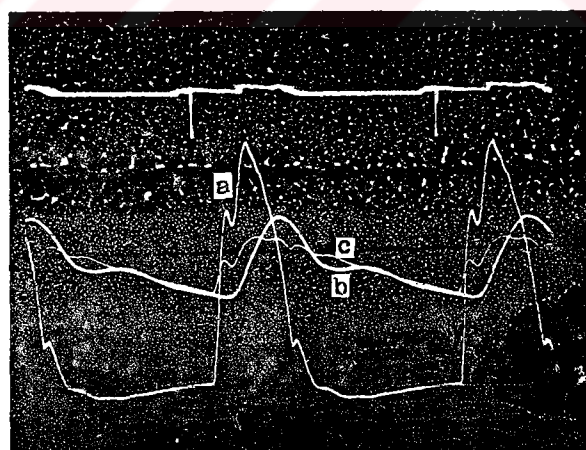
Sekil 5.5 - R_2 elemanın değerinin p_1 eğrisi üzerine etkisi. Çapı 3 mm olmak üzere a) R_2 boyu 12 cm, b) 3 cm ve c) 1,5 cm ve fakat R_2 , 4 mm çapında.



Sekil 5.6 - C_1 elemanın değerinin p_2 çıkış eğrisi üzerine etkisi,
a) C_1 üç bogumlu, b) iki bogumlu, c) bir bogumlu.



Şekil 5.7 - C_2 elemanının değerinin p_2 üzerine etkisi. b) C_2 arttıkça tit-
reşimlerin frekansı küçülüyor.



Şekil 5.8 - L_1 parametresinin yapay sistem çıkış büyütüklerine etkisi,
a) q, b) p_2 ve c) p_1 eğrileri ($l_{L_1} = 5 \text{ m}$).
(Şekil 5.4 ile karşılaştırın).

kadardır. Yapay sistemde bu boy (5.4) eşitliğinde verildiği gibi,

$$\frac{L_1}{L_1} / \frac{1}{A} = 500 / 100 = 5 \quad (5.6)$$

misli daha büyük çıkmıştır, belki biraz daha büyütmek gerekmektedir. Bu oranın bu derece büyük olmasına neden, sistemin verdiği debi genliğinin yapay sistemin verdiği debi genliğine oranının veya aynı şey demek olan bir atımdaki vurum hacimleri oranının (5.6) eşitliğinde verilen oran kadar olmasıdır. Bu oranı söyle çıkarabiliriz; Kalp dakikada ortalama,

$$K_2 = 5,1 \text{ lt} \quad (5.7)$$

kan pompalamaktadır (1). 80 atım/dakika hızı ile çalışan bu kalbin bir atımda,

$$H_a = 5100 / 80 = 64 \text{ cm}^3 \quad (5.8)$$

kan pompalaması demektir. Yapay sistem 80 atımda, (5.3) eşitliğinde verildiği gibi, 1230 cm^3 sıvı pompaladığına göre bir atımda pompa,

$$H_y = 1230 / 80 = 15,4 \text{ cm}^3 \quad (5.9)$$

sıvı pompalar. (5.8) ve (5.9) eşitliklerinde verilen hacimlerin oranı,

$$H_a/H_y = 64 / 15,4 = 4 \quad (5.10)$$

kadardır. Debi genliği olması gerekenden 4 kere küçük iken,

$$\bar{q}_i/\bar{Q}_i = H_y/H_a = 1/4 \quad (5.11)$$

aynı genlikte çıkış basınçları,

$$\bar{P}_2 = \bar{P}_2 \quad (5.12)$$

elde edilmek istendiginden yapay sistemdeki R_2 direncinin, esas sistemdekine (R_{2a}) oranla, (2.67) eşitliği yardımıyla,

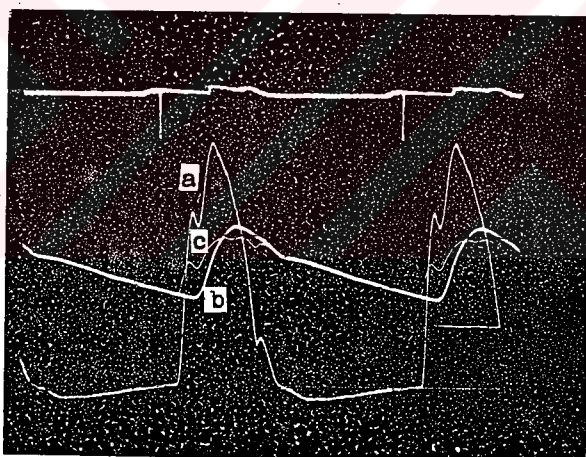
$$R_2 / R_{2a} = (\bar{P}_2 / \bar{q}_i) / (\bar{P}_2 / \bar{Q}_i) = \bar{Q}_i / \bar{q}_i = 4 \quad (5.13)$$

misli büyük olması gereklidir. (2.48-50) eşitliklerine bakıldığında ise yapay basınç genlik değişimlerinin referans basınç değişimlerine benzemesini sağlayan parametrelerden L_1 'in R_2 bağımsız parametre ile orantılı olması yani L_1 'in değerindeki artışın (5.13) eşitliğinde verilen oran kadar olması gereklidir. Yapay sistemde boru çapı mertebe olarak aort çapı kadar olduğu varsayılarak, hidrolik L_1 elemanının induktansı, boyu l_{L_1} ile orantılı olduğunu (11), yapay sistemde L_1 elemanına ait boru boyunun aort boyuna oranla,

$$\frac{l_{L_1}}{l_A} = \frac{L_1}{L_{1_a}} = \frac{R_{2_y}}{R_{2_a}} = 4 \quad (5.14)$$

misli daha büyük olması gerektiği bulunur ki deneyde de (5.6) eşitliğinde verilen aynı mertebede bir oran elde edilmiştir. (2.48 - 50) eşitlikleri ayrıca C_1 , C_2 elemanlarının da R_2 ile ters orantılı olduğunu gösterdiğinde ve R_{2_y} de olması gerekenden büyük olduğundan, C_1 , C_2 elemanlarının fiziksel boyutları da oldukça küçük çıkmıştır.

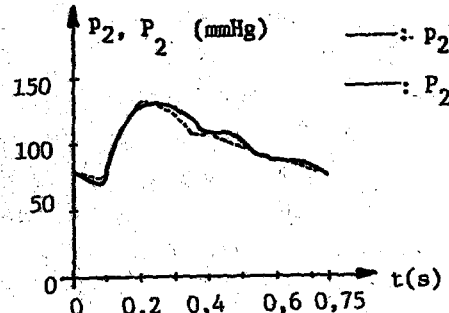
C_2 , Şekil 5.8 elde edilirken olduğu değerden daha küçük yapılarak Şekil 5.3'de gösterilen referans çıkış büyüklüklerine yaklaşımaya çalışılmış ve elde edilen sonuç Şekil 5.9'de gösterilmiştir. Bu son durum için sistemden elde edilen P_1 ve P_2 basınç değişimleri, Şekil 5.3'de verilen



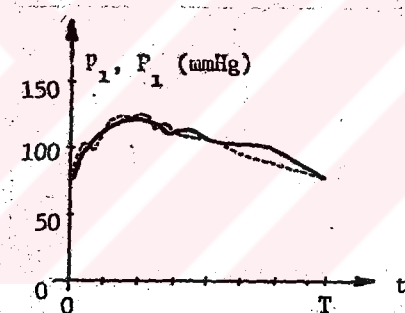
Şekil 5.9 $l_{L_1} = 5$ m ve fakat C_2 , Şekil 5.8 elde edilirken olduğu değerden daha küçük.

ve elde edilmek istenen P_1 ve P_2 referans basınç karşılıkları ile birlikte ayrı ayrı Şekil 5.10 ve Şekil 5.11'de gösterilmiştir. $M = 30$ örnek için (2.93) eşitliği kullanıldığında P_1 basıncının P_1 basıncından olan standard sapması 5,1mmHg ve P_2 basıncının P_2 basıncından olan standard sapması ise 3,4 mmHg olarak elde edilmiştir.

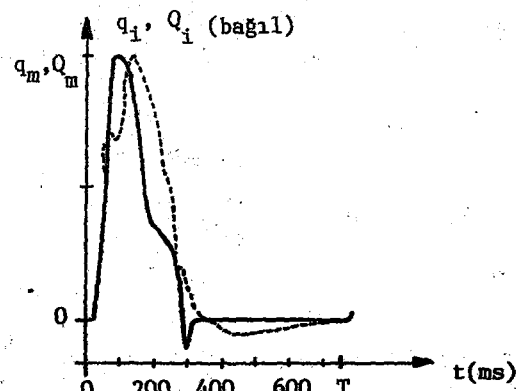
Şekil 5.12'de ise sistemden alınan q_1 debisi ile referans Q_1 debisi karşılaştırılmış olarak gösterilmiştir. 5.2 alt bölümünde ise q_1 debisi ile sisteme verilmek istenen i_1 debisi karşılaştırılmıştır.



Sekil 5.10- Yapay sistemden elde edilen p_2 ve elde edilmek istenen P_2 basınçları. $\sigma = 3,4$ mmHg.



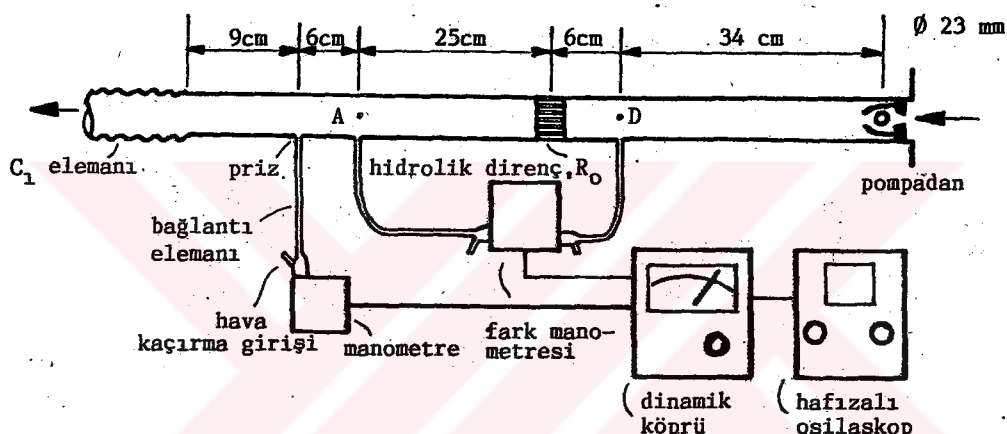
Sekil 5.11- Yapay sistemden elde edilen p_1 ve elde edilmek istenen P_1 basınçları. $\sigma = 5,1$ mmHg.



Sekil 5.12- Yapay sisteme q_i debi değişimi, $q_m = 100$ cm³/s, ve Q_i referans debi değişimi, $Q_m = 500$ cm³/s (sürekli eğri).

5.2 ANLIK DEBİ VE BASINÇ ÖLÇME DÜZENLERİ

Debi ölçme düzeni, Şekil 5.1'de gösterildiği gibi pompanın hemen çıkışında bulunmaktadır ve bu düzen basınç ölçme düzeni ile birlikte biraz daha ayrıntılı olarak Şekil 5.13'da tekrar gösterilmiştir.



Şekil 5.13- Debi ve basınç ölçme düzenleri.

Hidrolikte basınç ve debi arasındaki ilişkiler, elektrikte gerilim ve akım arasında olduğu kadar basit olmayıp işin içine çeşitli parametreler girmektedir. Ve hidrolikte ölçülebilin en kolay büyülük basınç olduğundan debi ölçmesini basınç ölçmesine dönüştürmek gerekmektedir. Böyle bir dönüştürücü için ilk akla gelen Venturi ölçegidir; ancak, basınç-debi ilişkisi lineer olmadığından dolayı bu ölçek anlık debi ölçme işinde kullanılamaz. Öte yandan basınç-debi arası aranan lineer ilişki ancak kılcal (kapilar) borularda mevcuttur (20) ve sisteme, anlık debi ölçümü için kılcal borulardan oluşan hidrolik bir direnç, R_o , uçlarında oluşan basınç farkı kullanılmıştır. Hidrolik direncin debi-başınç farkı ilişkisi lineer iken dirence paralel olarak bağlanan (Şekil 5.13) fark manometresinden elde edilen değişimler, debi değişimleri olarak alınacaktır.

Hidrolik direnç, R_o , 23 mm çapında ve 22 mm uzunluğunda silindirik bir plexiglas parça boyunca küçük çaplı delikler açılarak oluşturulmuştur. Deliklerin sayısı ve delik çaplarının direncin değerine nasıl etki ettiğini inceleyelim.

Pürüzsüz borulardaki kayıp, yada borunun iki ucu arasındaki basınç farkı

P_{AD} . 1 boru boyu, D_b boru iç çapı ve v_b akışkanın boru içindeki hızı olmak üzere,

$$P_{AD} = \lambda \cdot (1/D_b) \cdot (v_b^2/2g) \quad (5.15)$$

olarak verilir ve kılcal borularda (laminar akımda) sürekli yük kayıp katsayısı, daimi hareket halinde, (veya çok küçük Strouhal sayısı halinde),

$$\lambda = 64/Re \quad (5.16)$$

şeklindedir (20). Bu eşitliklerde g , yerçekimi ivmesi olup değeri,

$$g = 981 \text{ cm/s}^2 \quad (5.17)$$

Re , Reynolds sayısı olup,

$$Re = v_b \cdot D_b / v \quad (5.18)$$

olarak hesap edilir ki burada, v kinematik viskosite olup yapay sisteme kulanan gliserin-saf su karışımı için, ortam sıcaklığı 20°C olduğunda,

$$v = 0,019 \text{ cm}^2/\text{s} \quad (5.19)$$

olarak ölçülmüştür. (5.15-18) eşitlikleri birleştirilirse,

$$P_{AD} = (32 \cdot v \cdot l / (g \cdot D_b^2)) \cdot v_b \quad (5.20)$$

eşitliği elde edilir. Ayrıca v_b hızı ile Q_b debisi arasındaki ilişki,

$$Q_b = v_b \cdot \pi \cdot D_b^2 / 4 \quad (5.21)$$

olarak bilindiğine göre (5.20) eşitliği,

$$P_{AD} = (128 \cdot v \cdot l / (\pi \cdot g \cdot D_b^4)) \cdot Q_b \quad (5.22)$$

şekline girer. 1 uzunluğunda aynı özellikte N tane kılcal boru paralel olarak hidrolik dirençte bulunduğuna göre, hidrolik dirençten akan toplam Q debisi ile herbir kılcal borudan akan Q_b debisi arasında,

$$Q = N \cdot Q_b \quad (5.23)$$

biçiminde bir bağıntı vardır. (5.22) ve (5.23) eşitlikleri birleştirilirse, hidrolik direnç uçlarındaki basınç farkı P_{AD} ile içinden akan Q debisi arasındaki lineer ilişki bulunmuş olur,

$$P_{AD} = (128 \cdot v \cdot l / (\pi \cdot g \cdot D_b^4 \cdot N)) \cdot Q \quad (5.24)$$

ve (5.24) eşitliği yardımı ile de hidrolik direncin değeri hesaplanabilir,

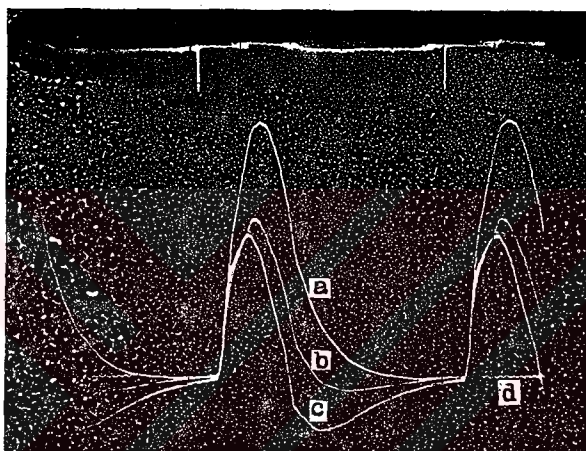
$$R_o = P_{AD} / Q = 128 \cdot v \cdot l / (\pi \cdot g \cdot D_b^4 \cdot N) \quad (5.25)$$

Ayrıca R_o direncinden geçen sıvıya ait Reynolds sayısı da (5.18), (5.21) ve (5.23) eşitlikleri yardımıyla,

$$Re = 4 \cdot Q / (v \cdot \pi \cdot D_b \cdot N) \quad (5.26)$$

olarak elde edilebilir.

Debi ölçme düzende R_0 olarak üç farklı hidrolik direnç kullanılmış ve her birinin gözlenen debi değişimi üzerine etkileri, Şekil 5,14'de gösterilmiştir.



Sekil 5.14- Üç farklı R_o değeri için pompa çıkışında gözlenen debi değişimleri. R_o değeri azaldıkça genlik küçülmekte ve diyastolde negatif olmaktadır. d) Alttaki yatay çizgi sıfır seviyesini göstermektedir.

Kullanılan dirençlere ait D_b delik çapı ve N delik sayısı, (5.25) ve (5.26) eşitlikleri yardımı ile ve $l = 2,2$ cm için hesaplanan direnç ve dirençten akan akışkana ait Reynolds sayısı değerleri Tablo 5.1'de verilmiştir. Reynolds sayısı için (5.26) ifadesinde Q olarak ortalama değeri, \bar{Q} , kullanılmıştır ki sistem dakikada 1230 cm^3 sıvı pompaladığına göre bu değer,

$$\bar{Q} = 1230 / 60 = 20,5 \text{ cm}^3/\text{s} \quad (5.27)$$

olarak elde edilir.

(5.25) ve (5.26) eşitlikleri birleştirilerek R_o ve Re değerlerini sağlayacak hidrolik direnç için delik çapı D_h ve sayısı N ,

$$D_b = \left(\frac{\nu \cdot l \cdot Re}{\pi \cdot g \cdot Q \cdot R_o} \right)^{1/3} \quad (5.28)$$

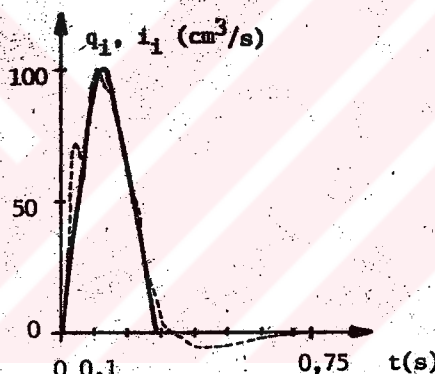
$$N = 127.Q / (Re.D_b) \quad (5.29)$$

plarak hesabedilebilir.

Tablo 5.1 R_o olarak kullanılan hidrolik direnç değerleri.

R_o	D_b (cm)	N	R (mm ² .g.s/cm ³)	Re
R_A	0,3	28	$6 \cdot 10^{-3}$	165
R_B	0,1	110	$116 \cdot 10^{-3}$	125
R_C	0,175	66	$21 \cdot 10^{-3}$	120

R_o direncinin R_C gibi kritik bir değeri için elde edilen debi değişimini q_i , sistemden beklenen debi değişimine, i_1 , oldukça benzemektedir ve bunlar Şekil 5.15'de karşılaştırmalı olarak gösterilmiştir.



Şekil 5.15- Yapay sistemden elde edilen debi değişimini q_i , ve sistemden beklenen debi değişimini i_1 (sürekli eğri).

Ortalama debi, \bar{Q} , (5.27) eşitliği ile belli olduğuna göre debi değişimini şimdije kadar belirsiz olan tepe değeri, q_m , yapay sistemden elde edilen pompa çıkıştı debi değişiminin bir periyot üzerinden alınacak ortalama değeri yardımıyla bulunabilir. Sistemden elde edilen debi değişimini, Şekil 2.8'de verilen yamuk şeklindeki değişimle oldukça benzediğinden, (Şekil 5.15), ve bu yamuğa ait parametreler (t_1 , t_2 , t_3 ve t_4) Tablo 2.4'de belli olduğundan, bu yamugun alanı yardımıyla T periyodu içindeki sistemden elde edilen debi değişiminin ortalaması, tepe değeri, q_m , cinsinden,

$$\bar{Q} = q_m \cdot (t_4 - t_1 + t_3 - t_2) / (2T) = 0,32 \cdot q_m / 1,5 \quad (5.30)$$

olarak hesaplanabilir ve (5.27) ve (5.30) eşitlikleri yardımıyla,

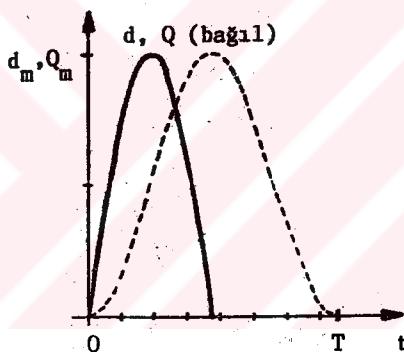
$$q_m = 4,7 \bar{Q} = 96 \text{ cm}^3/\text{s} \quad (5.31)$$

bulunabilir. Elektriksel modelde ise, benzer olarak (2.99) eşitliği ile verilen,

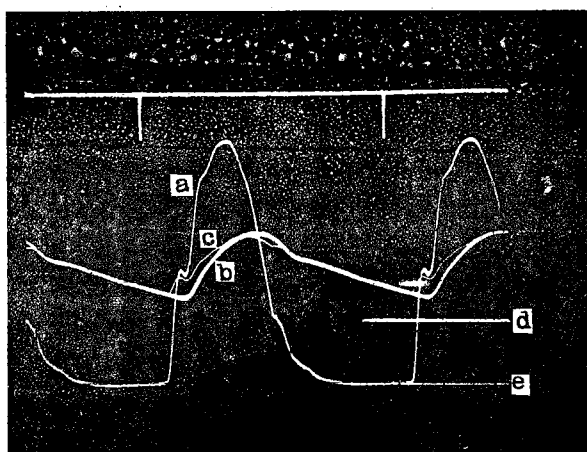
$$I_m = 100 \text{ A} \quad (5.32)$$

değeri kullanılarak parametreler hesaplanmıştır.

Mikroişlemciye, Şekil 5.16'da gösterilen yeni bir yerdeğiştirme eğrisine ait veriler verildiğinde $R_o = R_c$ kritik değerinde iken, sistemden elde edilen debi ve basınç değişimleri Şekil 5.17'de gösterilmektedir. Bu yeni durum için

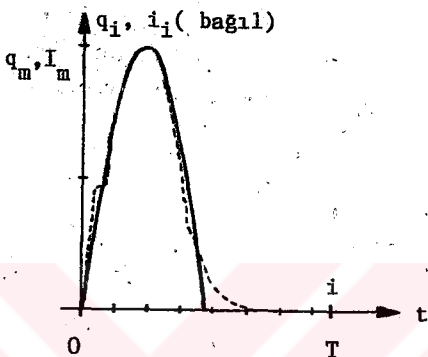


Şekil 5.16- Sisteme uygulanan yeni yerdeğişimi d , ve bunun türevi olarak elde edilen ve pompa çıkışında beklenen debi değişimi Q .



Şekil 5.17 Sisteme uygulanan yeni yerdeğişimine sistemin cevabı.

elde edilen ve elde edilmek istenen debi değişimleri Şekil 5.18'de karşılaştırılmış olarak gösterilmiştir. Diğer bazı yerdeğistirme eğrileri ile elde edilen debi değişimlerinin de elde edilmek istenenlerle kabul edilebilir yaklaşım içinde olması bu sistemin anlık debi ölçebilen diğer akış ölçerlerin kalibrasyonunda da kullanılabileceğini gösteriyor.



Şekil 5.18- Sistemden beklenen yeni debi değişimi i_i , ve sistemden elde edilen karşılığı q_i (kesikli eğri), $n = 80$ atım/dakika .

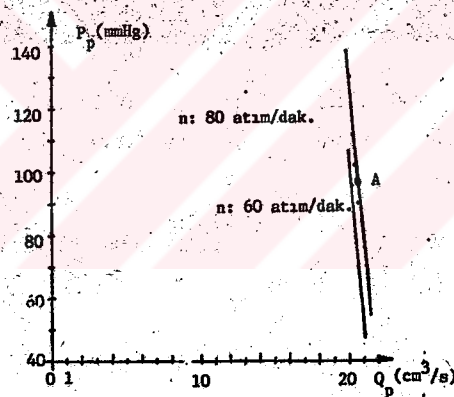
5.3 YAPAY SİSTEM ÜZERİNDE YAPILAN BAZI DENEYLER

5.1 1tbölümünde devre parametrelerinin çıkış basınç büyülükleri üzere olan etkileri verilmiştir. Bu alt bölümde ise vurum hızı, vurum hacmi, elektriksel modelde (2.27) eşitliği ile verilen ve şimdije kadar hep sıfır olarak alınan U_3 gerilimi ya da hidrolik karşılığı olan p_3 basıncı, senkronizasyon bozukluğu gibi diğer parametrelerin sistemin çıkış büyülüğu olarak seçilen p_2 basıncının üzerindeki etkileri gösterilmeye çalışılacaktır.

Daha önce ise, pompanın çalışma bölgesinde karakteristiği çıkarılmaya çalışılacaktır. Bu karakteristiğin kolayca elde edilebilmesi için C_1 ve C_2 elemanları devre dışı bırakılıp R_2 elemanı değiştirilerek pompa giriş ve çıkış basınç farkı ortalaması, P_p , ile pompa çıkışı debi değişiminin ortalamasının, Q_p 'nin, sistemden ölçülmesi gereklidir. Farklı R_2 değerleri için sistemden elde edilen (P_p , Q_p) çifti değerleri Tablo 5.2'de verilmiş ve pompa karakteristiği de bu değerler yardımcı ile Şekil 5.19'da gösterilmiştir. Şekil 5.19'dan görüldüğü gibi 50 mmHg ve 150 mmHg ortalama basınç değerleri içinde pompanın verdiği ortalama debi ancak % 7 kadar değişmektedir ki bu da oldukça küçük bir değerdir, çünkü zaten ortalama debi ölçümünde %3 ve ortalama basınç ölçümünde ise %6 lik bir ölçme hatası yapılmaktadır ve bu yüzden verilen çalışma bölgesinde pompayla bir akım kaynağı (hacim kaynağı) gözü

Tablo 5.2 Pompa karakteristigine ait P_p , Q_p değerleri.

R_2 (cm)	1,5	2	4	8	12	16	20	
Φ (mm)	4	3,5	3,5	3,5	3,5	3,5	3,5	
80 atım/dak.	P_p (mmHg)	61	89	103	104	112	129	137
	Q_p (cm^3/s)	21,2	20,5	20,3	20,3	20,2	20	19,8
60 atım/dak.	P_p (mmHg)	48	65	77	78	87	95	102
	Q_p (cm^3/s)	21	20,7	20,5	20,5	20,3	20,2	20

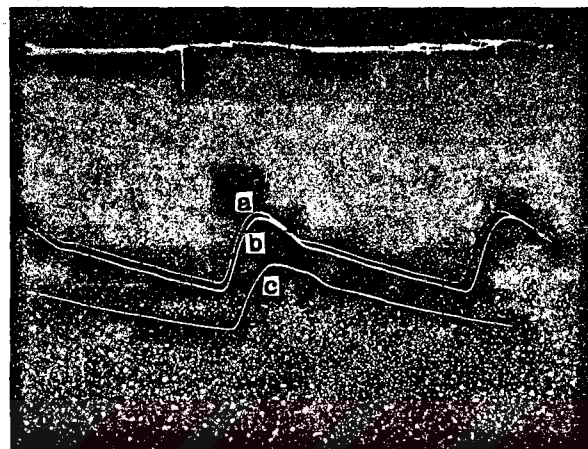


Şekil 5.19- Farklı vurum hızlarında pompa karakteristiği ve çalışma noktası, A.

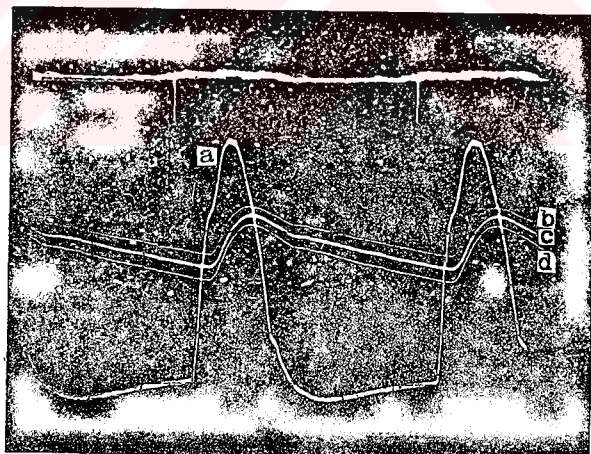
ile bakılabilmektedir.

Şekil 5.20'de pompa vurum hızının sistemin p_2 basıncı üzerindeki etkisi gösterilmektedir. Vurum hızı arttıkça pompanın verdiği ortalama debi artacak ve (2.67) eşitliğinden de görüldüğü gibi R_2 yükü değişmedigine göre ortalama debideki bu artış, p_2 basıncının ortalama değerinde artışıyla açacaktır. Şekil 5.20'de bu olay, vurum hızı azaldıkça basıncın düşey eksende sıfır eksenine doğru kayması ile kendini göstermektedir.

Sistemin R_2 ile atmosfere açılan ucunun pompanın kapakçık seviyesinden olan yüksekliği değiştirilmiş ve elde edilen sonuçlar Şekil 5.21'de verilmiştir.



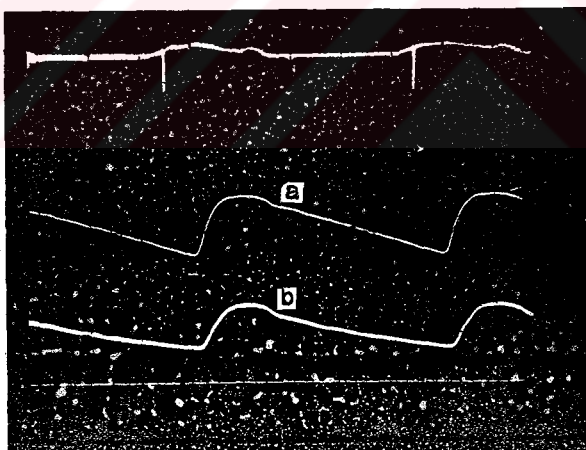
Şekil 5.20- Pompa vurum hızının p_2 basıncı üzerindeki etkisi. a) 82 atım/dak., b) 80 atım/dak. ve c) 62 atım/dak.



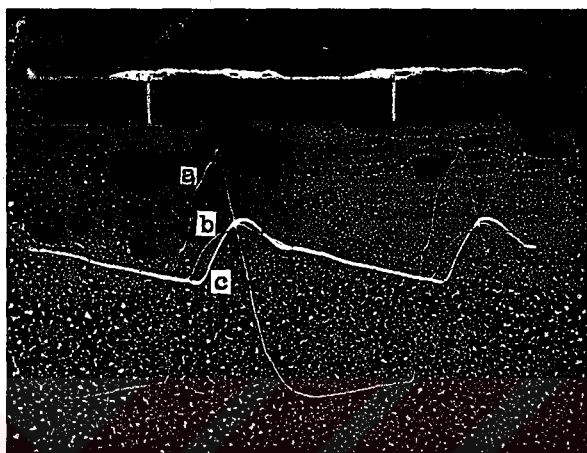
Şekil 5.21- Atmosfere açık uç kapakçık seviyesinden b) 35 cm, c) 20 cm, d) 5 cm yüksekte iken p_2 basıncı değişimleri.

Krankın boyu 5mm 'den 10mm'ye çıkartılarak vurum hacmi arttırlmış ve bunun çıkış basıncı değişim şekli üzerindeki etkisi Şekil 5.22'de gösterilmiştir. Vurum hacmi artıncá pompanın verdiği ortalama debi değeri artacağın- dan ve R_2 'nin değeri de değiştirilmemişinden, etki, vurum hızının artışında elde edilen etkiye benzer olacak yani p_2 düşey eksende yukarı doğru ötelenecektir. Bunun yanında vurum hacmi artıncá p_2 basınç değişiminin genliğinin de arttığı gözden uzak tutulmamalıdır, çünkü kaynak genliğindeki artışın, çıkış büyülügenin genliğinde de artışa yol açması lineer devrelerin davranış sonuçlarından biridir.

Şekil 5.23'de senkronizasyon bozukluğunun sistem giriş ve çıkış büyükliklerini değiştirdiği gösterilmeye çalışılmıştır.



Şekil 5.22- Vurum hacminin p_2 üzerine etkisi. a) Krank boyu $r = 10$ mm.
ve b) $r = 5$ mm.



Şekil 5.23- Senkronizasyonun p_2 üzerindeki etkisi. b) bilgisayardan gelen senkronizasyon pulsu, mekanik olarak sisteminde elde edilene göre 80 ms geride, c) 80 ms ileride.

BÖLÜM 6

SONUÇLAR

Kalp ve dolaşım sistemi çalışmalarına ya da hidrolikte darbeli akım çalışmalarına yardımcı olması amacıyla bir yapay dolaşım sistemi gerçekleştirilmiştir. Bugüne kadar yapılan yapay dolaşım sistemlerinde sistemden elde edilen sonucun gerçeğe ne derece yakınlığı üzerinde pek durulmamasına karşın bu çalışmada sistemin elektriksel modelinden elde edilen bilgilerden yararlanılarak ve sistem parametreleri değiştirilerek, referans seçilen basıncıdan olan farkının standard sapması 3,4 mmHg olan bir basınç değişimini elde edilmiştir. Sistem çıkış basıncı üzerindeki kontrol kolaylığı, sistem parametresinin modeldeki parametrelere uygun olarak mümkün mertebe toplu olarak gerçekleştirilmeleri ve bu yüzden parametrelerin ayrı ayrı değiştirilebilmeleri sonucu ortaya çıkmıştır. Bu parametreler içinde çıkış basıncı değişimine en etkili parametreler çevre direnci R_2 ve aort giriş kapasitesi C_1 olmuştur.

Yapay sisteme oran faktörü geometriye değil, parametre değerlerine dayanırmış ve sistem çıkış basıncı ortalaması ile sistem giriş debisi ortalamasının oranı olarak belirlenen ve bağımsız parametre seçilen R_2 direnci için bu oran 4 civarında çıkmıştır. Model kapasitelerinin (C_1 ve C_2), R_2 ile ters L_1 induktansının ise R_2 ile doğru orantılı olduğu modellemede eğri uydurma işlemi sonucu olarak elde edilmiştir. Sistemde ise istenilen basınç değişimleri elde edildiğinde, esnek lastik parçalarından oluşturulmuş sistem kapasiteleri bu sonuçları doğrular biçimde çok küçük boyutlarda (C_1 için 13cm x Ø30mm ve C_2 için 0,5 cm x Ø20 mm) ve L_1 elemanı ise oran faktörü mertebesinde büyük boyutlarda (500cm x Ø23 mm) çıkmıştır.

Sistem parametrelerinin (R_2 , C_1 , C_2 ve L_1), sistem çıkış basınç değişimleri, p_1 ve p_2 , üzerindeki etkilerine bakıldığından bunların model parametrelerinin model çıkış gerilimleri, u_1 ve u_2 , üzerinde olan etkilerinin aynı olduğu görülmüştür. Ayrıca vurum hızı, vurum hacmi ve atmosfere açık olan R_2 elemanı ucunun pompa çıkış kapakçık seviyesinden olan yüksekliği gibi parametrelerin de çıkış basınç değişimleri üzerindeki etkileri incelenmiştir.

Sistem bir noktasından atmosfere açık olduğundan bunun getirdiği üstünlüklerden (akışkan sıcaklığı ve ortalama debi ölçülmesi gibi amaçlar için) yararlanılmıştır.

Yapay sisteme anlık debi değişimini, sisteme ilave edilen, hidrolik bir

direncin uçlarındaki basınç değişiminden hareket ederek bulunmaya çalışılmıştır. Pompanın bir hacim kaynağı (akım kaynağının analogu) görevini yapması ve pompa içi hacim değişiminin biliniyor olması, pompa çıkış debi değişim eğrisini belirli kıldığından, bu değişimi doğru gözlememizi sağlayan direncin deney şartlarındaki kritik değeri deneysel olarak bulunmuştur. Debinin ortalaması değeri de kolayca ölçüldüğünden, pompa çıkışı debi değişimini, genliği ile birlikte belirlenmiş olur ve bu sekli ile sistem, diğer yöntemlerle çalışan anlık debi ölçerlerin kalibrasyonuna olanak sağlar.

Gerek pompa cıdarlarının ve gerekse kapakçık malzemelerinin sert oluşu p_1 basınç değişim eğrisinin ön kenarında istenmeyen titreşimlere yol açmaktadır. Pompa içine konacak esnek bir hazne, hem bu yumuşaklıği sağlayacağı ve hem de piston ile akışkan temasını keseceğinden gerçege daha yakın bir durum elde edilmiş olacağı sanılmaktadır.

Mikroişlemciyle çalıştırılan programda biraz değişiklik yapılarak istenirse belli bir debi değişimini sağlayan bir veri grubundan, başka bir debi değişimini sağlayan diğer bir veri grubuna geçilerek sistem çalışırken debi değişiminde değişiklikler yapılabilir.

Pompa ve bilgisayardan oluşan kaynağı da gözüne alarak sistemin üstünlükleri şöyle sıralanabilir.

- a) Kam kullanan sistemlerde kamı değiştirmeye karşılık olarak bu sisteme, mikroişlemciyle çalıştırılan ve adım motoruna darbeler gönderen programın verileri değiştirilerek çeşitli debi değişimleri kolaylıkla elde edilebilir.
- b) Harici osilatörün frekansını ayarlayarak motoru durdurmadan pompayı çeşitli vurum hızlarında çalıştırmak mümkün olur.
- c) Krankın boyu değiştirilerek farklı vurum hacimlerinde çalışmak mümkündür.
- d) Motor çalışırken sistem parametreleri değiştirilerek çıkış basıncı eğrileri değiştirilebilir.
- e) Motor çalışırken birer anahtar yardımı ile senkronizasyon ya da veri grubunun ilk elemanının seçiliş anı ile krankın pistonu en geride tuttuğu referans noktasında bulunma anı arasındaki zamanlama yapay olarak bozularak çıkış basınç eğrilerinde değişiklikler yaptırılabilir.
- f) Canlı deney sistemlerine göre üstünlüğü olarak yapay sisteme şartlar uzun süre korunabilir, istenirse kolayca değiştirilebilir; test ve ölçme ci-hazırları kolaylıkla monte edilebilir. Bu ise araştırcıya çalışma kolaylığı sağlar. Bu sekli ile yapay sistemler, canlı üzerinde yapılacak biyomedikal

çalışmalar için bir öncü görevi görmektedir.

g) Bu tür yapay sistemler, kalp kapakçığı testlerinde de kullanılmaktadır (19).

h) Yapay sistem, model parametreleri kolayca değiştirilip çeşitli hastalık şartları oluşturulabilen bir eğitim aracı olarak kullanılabilir.

i) Hidrolikte darbeli akışlarda çalkantı (turbülans) olayı ve yük kayıpları gibi olayları açıklama ve inceleme olanağı sağlar. Aynı amaç için pompa pleksiglas malzemeden yapılmış olup kapakçık hareketlerini de izlemek mümkündür.

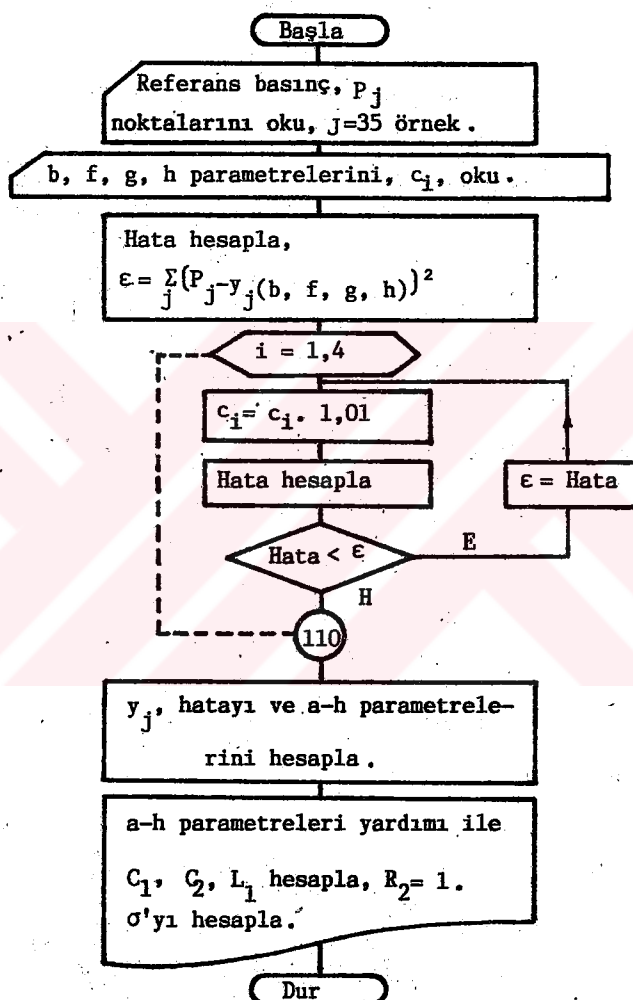
j) Sistemde kullanılan pompada, sistemden elde edilen bilgiler ışığında, değişiklikler yapılarak canlı vücutlardaki dolaşım sistemlerini de sürmesi sağlanabilir.

BÖLÜM 7

EKLER

EK-1 PROGRAM "CUR"

EK.1.1- BASITLEŞTİRİLMİŞ AKIŞ DİYAGRAMI



EK.1.2- "CUR" GİRİŞİ ($y_j(x)$ için)

DOSYA: CURI DATA: 03/06/86 11:32:29 İTV - MAÇKA SAYFA: 001

EK.1.3- CUR ÇIKIŞI

DOSYASı CURI OUT 03/06/05 11:31:47 İTA - MACKA SAYFA 001

İPRAHT, ORG
 B+F=G+H = G 6. AIC14 ILK DESENLER 27 1.01200008
 B+F+G+H = 2.50000000 2.50000000 30.00000000 3.00000000

S1= 179.974906 B1= 1.047 F= 2.500 G= 30.000 H= 3.000
A1= 1.244 C1= 0.000 D1= 0.000

C1=0.7957 C2=0.1854 L1=0.00001 E2= 0.0000 R2=1.0

MATA₁ = 0.103 ABBESEL MATA₂ = 178.53° ST-SAPNA₂ 2-259

HATA DEGİŞİMİ

EK.1.4- CUR GİRİŞİ ($y(x)$ için)

DOSYASı: CUK22 DATA 03/06/86 11:32:24 AT - MACKA SAYFA 002

EK.15- CUR ÇIKIŞI

DUSTAE CUKYY OUT 03/06/85 11:32:04 STA - HAKKA SAYFA 001

$S_1 = 70,5573785$ $a = 1.047$ $F = 3,560$ $G = 37,000$ $m = -1.053$
 $A = 119-337$ $L = 0-300$ $D = -6-323$

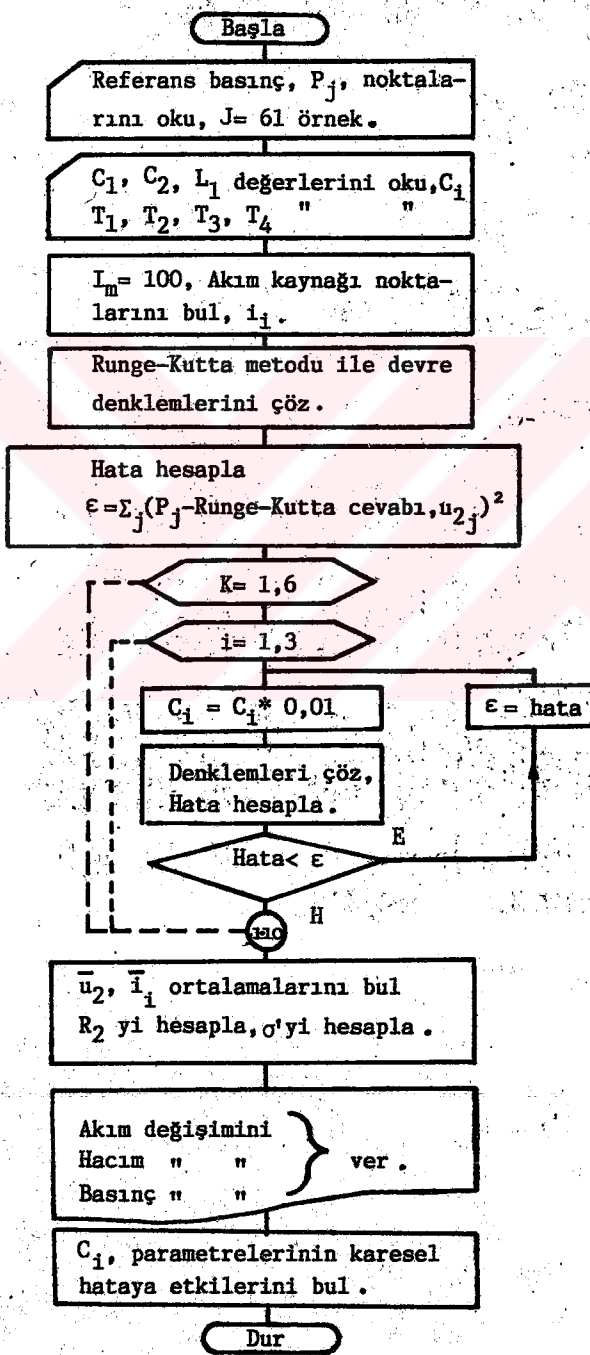
$$E_1=0.9378 \quad E_2=0.1223 \quad L_1=0.20874 \quad E^2=0.00003 \quad B^2=1.0$$

MATA# 9-184 KASSEL MATA# 75-773 ST-SAPNAB 1-671

BASIC DEFINITION

EK-2 PROGRAM "ITR"

EK-2.1. BASITLESTİRİLMİŞ AKIŞ DİYAGRAMI



EK.2.2- "ITR" GİRİŞİ

DOSYASı ITRVV DATA 03/06/86 11:32:58 ITV - MACKA SAYFA 001

77.3 76.5 75.5 74.0 73.0 71.5 70.0 68.0 74.0 94.0
 94.0 104.0 114.0 121.5 125.5 127.5 128.5 129.5 128.0 128.0
 128.0 127.5 127.0 126.5 125.5 125.5 122.5 121.5 118.0 115.0
 111.5 108.5 107.5 107.0 107.0 107.0 107.0 106.5 105.0 103.0
 100.0 97.0 94.0 91.5 90.0 89.5 89.5 88.0 87.5 87.0
 86.5 86.5 86.0 85.0 85.0 83.0 82.0 80.5 79.5 78.5
 77.5
 1.01.6.3,-0.00.2
 80.
 1.2.3.6.5.1.
 0.378.0.12260.0.008740.100.003.0.0.1.0
 0.00000.0.00000.0.130.0.280.0.0.0.
 77.5.77.5.0.

EK.2.3- "ITR" ÇIKIŞI

DOSYASı ITRVV OUT 03/06/86 11:33:06 ITV - MACKA SAYFA 001

OR_KKA_KKB_TDR= 1.013 6 3 0.000
 C1,C2,L1,C1,M2,E2,A1 ICIN ILK DEĞERLER * MK *
 C123654= 0.03780 0.12249 0.03676 100.00000 0.00000 1.00000
 T12345= T1,T2,T3,T4,T5,T6 ICIN ILK DEĞERLER
 T12345= 0.00000 0.09000 0.13000 0.28000 0.00000 0.00000
 C1,C2,L1,R2= 0.178654625 0.261023929E-01 0.316054225E-01 4.68923187
 S O V U C L A R

HATA_KARESEL_HATA= -26.3823547 470.680664 141.841232
 STANDART SAPMA= 2.77119327 R0= 4.70991325
 C123654= 0.17109 0.02142 0.03161 100.00000 0.00000 4.68923
 T12345= 0.06000 0.09000 0.13000 0.28000 0.00000 0.00000

AKIM DEĞİŞİMİ:
 0.00 13.89 27.78 41.67 55.56 69.44 83.33 97.22 100.00 100.00
 100.00 95.00 86.67 78.33 70.00 61.67 53.33 45.00 36.67 28.33
 24.00 11.67 3.33 0.00 0.00 0.00 0.00 0.00 0.00 0.00
 0.00 0.00 0.00 0.00 0.00 0.00 0.00 0.00 0.00 0.00

BASINCA DEĞİŞİMİ:

73.58 74.71 73.84 73.16 72.99 73.71 75.66 79.04 83.93 90.17
 127.73 126.98 135.42 135.93 125.37 124.22 122.56 120.63 118.25 115.75
 115.34 111.21 139.66 135.11 107.07 105.21 105.36 104.37 103.16 101.70
 100.03 98.24 95.59 94.75 93.13 91.93 90.32 89.84 88.92 87.98
 89.95 85.81 84.96 83.22 81.85 80.41 79.24 78.09 77.04 76.09
 75.23

M	1	2	3	4	5	6	7	8	9	10	11
C111	310.8	496.3	483.1	475.3	471.2	472.7	473.6	474.7	480.8	500.0	515.8
C121	482.9	478.3	476.9	472.6	471.1	473.7	471.1	472.5	474.5	477.0	480.0
C131	484.3	478.3	476.9	472.6	471.4	472.7	471.3	472.7	476.9	476.7	479.1
C141	470.7	473.7	473.7	473.7	473.7	473.7	473.7	473.7	479.7	470.0	470.7
C151	470.7	473.7	473.7	473.7	473.7	473.7	473.7	473.7	479.7	470.0	470.7
C161	492.6	514.6	522.1	602.1	682.3	677.7	554.0	750.5	5104.6	614.41	1941.2
C171	492.6	514.6	522.1	602.1	682.3	677.7	554.0	750.5	5104.6	614.41	1941.2
C181	492.6	514.6	522.1	602.1	682.3	677.7	554.0	750.5	5104.6	614.41	1941.2

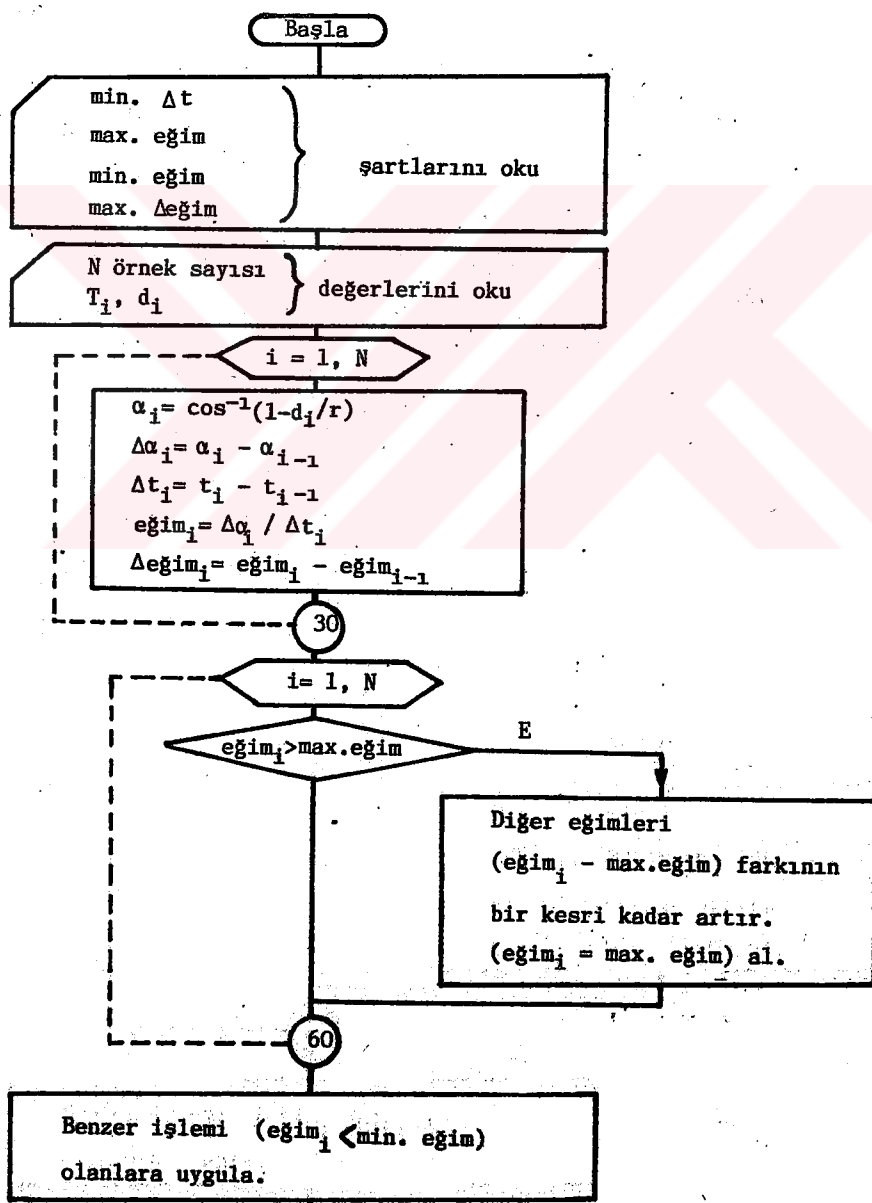
M	1	2	3	4	5	6	7	8	9	10	11
MACIM DEĞİŞİMİ:	0.00	0.29	3.35	0.78	1.33	2.17	3.13	4.23	5.49	6.74	
	7.93	9.29	10.26	11.31	12.32	13.96	13.92	14.93	13.97	13.99	
	13.67	15.87	15.97	15.99	15.99	15.99	15.99	15.99	15.99	15.99	

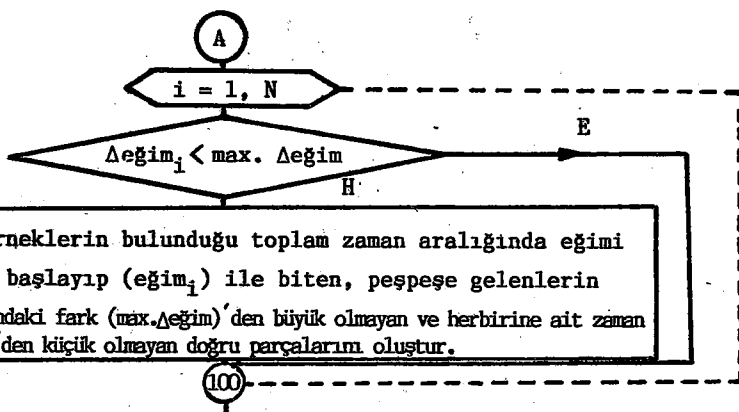
72.1817677 75.3809267 14.5952433

72.1986957 75.2915228 14.5952433

EK-3 PROGRAM "MEH"

EK-3.1. BASITLEŞTİRİLMİŞ AKIŞ DİYAGRAMI





(i-1). ve i. örneklerin bulunduğu toplam zaman aralığında eğimi (eğim_{i-1}) ile başlayıp (eğim_i) ile biten, peşpeşe gelenlerin eğimleri arasındaki fark ($\text{max.}\Delta\text{eğim}$)'den büyük olmayan ve herbirine ait zaman aralığı (Δt)'den küçük olmayan doğru parçalarım oluşturur.

Diyastol kısmına ait doğru parçalarım oluştur öyle ki peşpeşe gelen doğru parçalarının eğimleri arasındaki fark ($\text{max.}\Delta\text{eğim}$)'den büyük ve zaman aralıkları da (Δt)'den küçük olsun.

eğimleri düzeltilmiş tüm doğru parçalarına ait, t_i , Δt_i , d_i , a_i , eğim_i , $\Delta\text{eğim}_i$ gibi parametleri tablo halinde ver.

tüm doğru parçaları için,

$$\Delta p_i = \Delta a_i / 0,45$$

$$t_{p_i} = \Delta t_i / \Delta p_i$$

$$A_{l_i} = t_{p_i} / 0,0394$$

$$A_{o_i} = 2,94 .. t_{p_i} / 0,0394$$

hesapla ve Δp_i , A_{l_i} , A_{o_i} değerlerini program 'LOGIC'in kullanabileceği onaltılık sayı düzenindeki karşılıklıklarına çevir.

onaltılık düzende Δp_i , A_{l_i} , A_{o_i} değerlerini, başta Δp_i 'lerin yazılacağı göz adresi olmak üzere grup halinde ver.

Dur

EK.3.2- "MEH" GİRİŞİ

DOSYAS: MAHEE DATA 03/06/86 11:30:52 171 - MACKA

14.0	0.90	0.12	0.08
11.0	0.75	1.30	1.00
52.	2.52		
75.	1.95		
100.	3.44		
125.	5.00		
150.	6.66		
175.	7.70		
200.	8.77		
225.	9.37		
250.	9.81		
275.	10.00		

EK.3.3- "MEH" ÇIKIŞI

N=11 T=0.75 SLPMAX=0.90 SLPMIN=0.12 DELSMX=0.08

N	TIME	DISP	ALFA	DT	DA	SLP	DSLP	A	B	C
1	25.	0.220	17.1	25.	17.1	0.682	0.080	T	T	T
2	50.	0.870	34.3	25.	17.3	0.590	0.088	T	T	T
3	75.	1.950	52.6	25.	18.1	0.724	0.036	T	T	T
4	100.	3.440	71.8	25.	19.5	0.776	0.052	T	T	T
5	125.	5.000	90.0	25.	18.2	0.727	0.049	T	T	T
6	150.	6.660	107.2	25.	17.2	0.639	0.038	T	T	T
7	175.	7.700	122.7	25.	15.5	0.519	0.079	T	T	T
8	200.	8.770	137.0	25.	14.5	0.582	0.037	T	T	T
9	225.	9.370	150.9	25.	13.7	0.568	0.033	T	T	T
10	250.	9.810	164.2	25.	13.2	0.529	0.019	T	T	T
11	275.	10.000	180.0	25.	15.8	0.634	0.105	T	F	T
		0.0000000000E+00								

N	TIME	DISP	ALFA	DT	DA	SLP	DSLP	A	B	C
1	25.	0.220	17.1	25.	17.1	0.682	0.080	T	T	T
2	50.	0.870	34.3	25.	17.3	0.590	0.088	T	T	T
3	75.	1.950	52.6	25.	18.1	0.724	0.036	T	T	T
4	100.	3.440	71.8	25.	19.5	0.776	0.052	T	T	T
5	125.	5.000	90.0	25.	18.2	0.727	0.049	T	T	T
6	150.	6.660	107.2	25.	17.2	0.639	0.038	T	T	T
7	175.	7.700	122.7	25.	15.5	0.519	0.079	T	T	T
8	200.	8.770	137.0	25.	14.5	0.582	0.037	T	T	T
9	225.	9.370	150.9	25.	13.7	0.568	0.033	T	T	T
10	250.	9.810	164.2	25.	13.2	0.529	0.019	T	T	T
11	275.	10.000	180.0	25.	15.8	0.634	0.105	T	F	T
		0.0000000000E+00								

THE NUMBER OF PULSES BEFORE THE ZERO POINT IS

60 DECIMAL

NUMB	DP	A1	A0
0020	26	0C	2A
0023	26	3C	2A
0026	28	CB	27
0029	28	CB	27
0032	28	CB	27
0035	28	CB	27
0038	28	CB	27
0041	28	CB	27
0044	28	CB	27
0047	28	CB	27
0050	28	CB	27
0053	29	CB	28
0056	29	CB	28
0059	10	1D	1A
0062	13	2E	3A
0065	13	2E	3A
0068	13	2E	3A
0071	13	2E	3A
0074	13	2E	3A
0077	13	2E	3A
0080	13	2E	3A
0083	13	2E	3A
0086	13	2E	3A
0089	13	2E	3A
0092	13	2E	3A
0095	13	2E	3A
0098	13	2E	3A
0101	13	2E	3A
0104	13	2E	3A
0107	13	2E	3A
0110	13	2E	3A
0113	13	2E	3A
0116	13	2E	3A
0119	13	2E	3A
0122	13	2E	3A
0125	13	2E	3A
0128	13	2E	3A
0131	13	2E	3A
0134	13	2E	3A
0137	13	2E	3A
0140	13	2E	3A
0143	13	2E	3A
0146	13	2E	3A
0149	13	2E	3A
0152	13	2E	3A
0155	13	2E	3A
0158	13	2E	3A
0161	13	2E	3A
0164	13	2E	3A
0167	13	2E	3A
0170	13	2E	3A
0173	13	2E	3A
0176	13	2E	3A
0179	13	2E	3A
0182	13	2E	3A
0185	13	2E	3A
0188	13	2E	3A
0191	13	2E	3A
0194	13	2E	3A
0197	13	2E	3A
0200	13	2E	3A
0203	13	2E	3A
0206	13	2E	3A
0209	13	2E	3A
0212	13	2E	3A
0215	13	2E	3A
0218	13	2E	3A
0221	13	2E	3A
0224	13	2E	3A
0227	13	2E	3A
0230	13	2E	3A
0233	13	2E	3A
0236	13	2E	3A
0239	13	2E	3A
0242	13	2E	3A
0245	13	2E	3A
0248	13	2E	3A
0251	13	2E	3A
0254	13	2E	3A
0257	13	2E	3A
0260	13	2E	3A
0263	13	2E	3A
0266	13	2E	3A
0269	13	2E	3A
0272	13	2E	3A
0275	13	2E	3A
0278	13	2E	3A
0281	13	2E	3A
0284	13	2E	3A
0287	13	2E	3A
0290	13	2E	3A
0293	13	2E	3A
0296	13	2E	3A
0299	13	2E	3A
0302	13	2E	3A
0305	13	2E	3A
0308	13	2E	3A
0311	13	2E	3A
0314	13	2E	3A
0317	13	2E	3A
0320	13	2E	3A
0323	13	2E	3A
0326	13	2E	3A
0329	13	2E	3A
0332	13	2E	3A
0335	13	2E	3A
0338	13	2E	3A
0341	13	2E	3A
0344	13	2E	3A
0347	13	2E	3A
0350	13	2E	3A
0353	13	2E	3A
0356	13	2E	3A
0359	13	2E	3A
0362	13	2E	3A
0365	13	2E	3A
0368	13	2E	3A
0371	13	2E	3A
0374	13	2E	3A
0377	13	2E	3A
0380	13	2E	3A
0383	13	2E	3A
0386	13	2E	3A
0389	13	2E	3A
0392	13	2E	3A
0395	13	2E	3A
0398	13	2E	3A
0401	13	2E	3A
0404	13	2E	3A
0407	13	2E	3A
0410	13	2E	3A
0413	13	2E	3A
0416	13	2E	3A
0419	13	2E	3A
0422	13	2E	3A
0425	13	2E	3A
0428	13	2E	3A
0431	13	2E	3A
0434	13	2E	3A
0437	13	2E	3A
0440	13	2E	3A
0443	13	2E	3A
0446	13	2E	3A
0449	13	2E	3A
0452	13	2E	3A
0455	13	2E	3A
0458	13	2E	3A
0461	13	2E	3A
0464	13	2E	3A
0467	13	2E	3A
0470	13	2E	3A
0473	13	2E	3A
0476	13	2E	3A
0479	13	2E	3A
0482	13	2E	3A
0485	13	2E	3A
0488	13	2E	3A
0491	13	2E	3A
0494	13	2E	3A
0497	13	2E	3A
0500	13	2E	3A
0503	13	2E	3A
0506	13	2E	3A
0509	13	2E	3A
0512	13	2E	3A
0515	13	2E	3A
0518	13	2E	3A
0521	13	2E	3A
0524	13	2E	3A
0527	13	2E	3A
0530	13	2E	3A
0533	13	2E	3A
0536	13	2E	3A
0539	13	2E	3A
0542	13	2E	3A
0545	13	2E	3A
0548	13	2E	3A
0551	13	2E	3A
0554	13	2E	3A
0557	13	2E	3A
0560	13	2E	3A
0563	13	2E	3A
0566	13	2E	3A
0569	13	2E	3A
0572	13	2E	3A
0575	13	2E	3A
0578	13	2E	3A
0581	13	2E	3A
0584	13	2E	3A
0587	13	2E	3A
0590	13	2E	3A
0593	13	2E	3A
0596	13	2E	3A
0599	13	2E	3A
0602	13	2E	3A
0605	13	2E	3A
0608	13	2E	3A
0611	13	2E	3A
0614	13	2E	3A
0617	13	2E	3A
0620	13	2E	3A
0623	13	2E	3A
0626	13	2E	3A
0629	13	2E	3A
0632	13	2E	3A
0635	13	2E	3A
0638	13	2E	3A
0641	13	2E	3A
0644	13	2E	3A
0647	13	2E	3A
0650	13	2E	3A
0653	13	2E	3A
0656	13	2E	3A
0659	13	2E	3A
0662	13	2E	3A
0665	13	2E	3A
0668	13	2E	3A
0671	13	2E	3A
0674	13	2E	3A
0677	13	2E	3A
0680	13	2E	3A
0683	13	2E	3A
0686	13	2E	3A
0689	13	2E	3A
0692	13	2E	3A
0695	13	2E	3A
0698	13	2E	3A
0701	13	2E	3A
0704	13	2E	3A
0707	13	2E	3A
0710	13	2E	3A
0713	13	2E	3A
0716	13	2E	3A
0719	13	2E	3A
0722	13	2E	3A
0725	13	2E	3A
0728	13	2E	3A
0731	13	2E	3A
0734	13	2E	3A
0737	13	2E	3A
0740	13	2E	3A
0743	13	2E	3A
0746	13	2E	3A
0749	13	2E	3A
0752	13	2E	3A
0755	13	2E	3A
0758	13	2E	3A
0761	13	2E	3A
0764	13	2E	3A
0767	13	2E	3A
0770	13	2E	3A
0773	13	2E	3A
0776	13	2E	3A
0779	13	2E	3A
0782	13	2E	3A
0785	13	2E	3A
0788	13	2E	3A
0791	13	2E	3A
0794	13	2E	3A
0797	13	2E	3A
0800	13	2E	3A
0803	13	2E	3A
0806	13	2E	3A
0809	13	2E	3A
0812	13	2E	3A
0815	13	2E	3A
0818	13	2E	3A
0821	13	2E	3A
0824	13	2E	3A
0827	13	2E	3A
0830	13	2E	3A
0833	13	2E	3A
0836	13		

EK.4- PROGRAM "LOGIC"

EK.4.1- LOGIC'IN MAKİNA DİLİNDÉ YAZILMIŞ ŞEKLİ

.v V 300-427
0300 FF FF FF FF FF FF FF,FB
0308 FF FF FF FF FF FF FF,FD
0310 A5 1F 8D 63 03 A9 AD 8D,7F
0318 C2 A8 8D 0E A8 83 80 A9,1A
0320 20 8D 0E A8 A5 20 85 12,D6
0328 69 FD 83 11 69 15 85 13,DB
0330 A9 80 8D 00 A8 A9 00 85,67
0338 10 AA A8 A5 10 DS 20 FD,63
0340 22 A9 00 8D FE FF A9 04,65
0348 8D FF FF A9 20 8D 00 18,E8
0350 EB B5 20 8D 08 A8 A9 00,91
0358 8D 09 A8 A5 80 FD 03 4C,33
0360 5F 03 40 C8 CO 0E FD 0A,45
0368 E8 E8 A8 00 83 10 4C,A7
0370 3D 03 A5 12 85 20 AD 00,FD
0378 A8 29 C3 C9 00 FD B1 A5,D3
0380 11 85 20 AD 00 A8 29 03,0A
0388 C9 01 FD A4 A5 13 85 20,CS
0390 4C 30 03 FF FF FF FF FF,3F
0398 FF FF FF FF FF FF FF 15,4D
03A0 26 DC 21 26 OC 21 28 DB,38
03A8 27 2B QA 24 28 DB 27 26,38
03B0 OC 2A 22 0E 2F 20 OF 33,2F
03B8 1E 11 37 1A 11 37 13 OE,18
03C0 2F 14 0E 2E 11 10 36 OF,FD
03C8 13 3E OC 19 50 FF 1C 58,36
03D0 29 1C 58 0B 1C 57 OE 15,74
03D8 43 10 12 3A 15 0E 2F FF,64
03E0 FF FF FF FF FF FF FF FT,CC
03E8 FF FF FF FF FF FF FF FF,54
03F0 FF FF FF FF FF FF FF FF,4C
03F8 FF FF FF FF FF FF FF FF FF,44
0400 A9 00 8D 00 A8 A9 3B 8D,93
0408 FE FF A9 03 8D FE FF E8,AF
0410 B5 20 8D 08 A8 A9 00 8D,F7
0418 09 A8 CA CA E6 10 A9 00,DB
0420 B5 80 40 FF FF FF FF FF FF,1B
9S1B

.V 398-3DF

0398 FF FF FF FF FF FF FF 15,0E
03A0 26 DC 2A 26 OC 2A 28 DB,FD
03A8 27 2B QA 24 28 DB 27 26,FD
03B0 OC 2A 22 0E 2F 20 OF 33,FO
03B8 1E 11 37 1A 11 37 13 OE,D9
03C0 2F 14 0E 2E 11 10 36 OF,BE
03C8 13 3E OC 19 50 FF 1C 58,FT
03D0 29 1C 58 0B 1C 57 OE 15,35
03D8 43 10 12 3A 15 0E 2F FF,25
1125

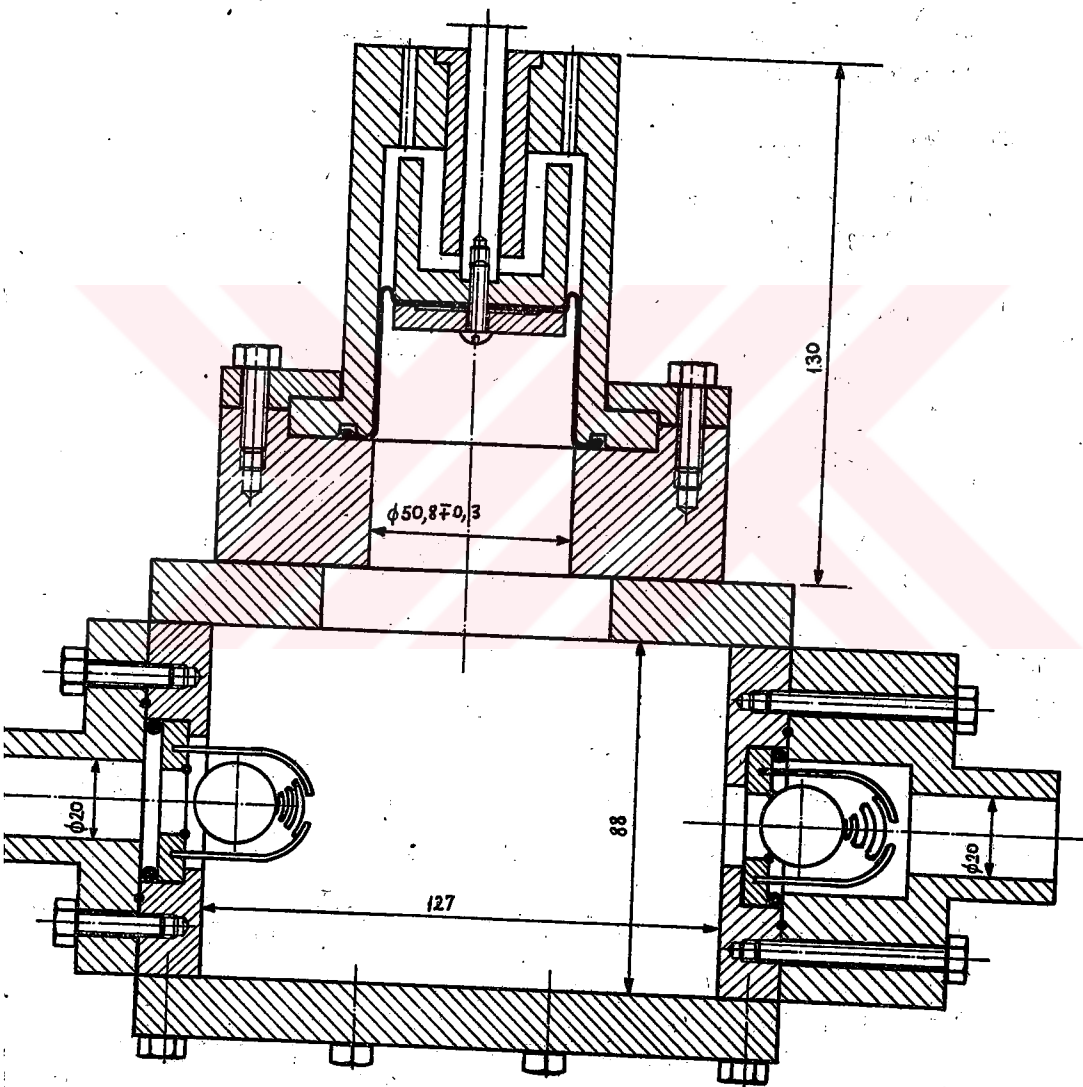
.V 600-616

0600 FF FF FF FF FF FF FF 04,FD
0608 FF OF 32 FF OF 32 FF OF,8B
0610 32 23 OF 32 FF FE FF,1E
061E

a) Şekil 3.4 de verilen pompa içi hacim değişimini elde etmek için kullanılan veriler.

b) Sinüzoidal hacim değişimini elde etmek için kullanılan veriler.

EK.5- POMPANIN KESİT RESMİ



Malzeme: Plexiglas

KAYNAKLAR

- (1) SCHAAF,B.W;ABBRECHT, P.H."Digital Computer Simulation of Human Systemic Arterial Pulse Wave Transmission: A Nonlinear Model", J. Biomechanics, 1972, (345 - 365).
- (2) SCHWAN,H.P. (Ed.): Biological Engineering, 1969, (390 -545).
- (3) GOLDWYN, R.M.; WATT T.B.: "Arterial Pressure Pulse Contour Analysis Via a Mathematical Model for Clinical Quantification of Human Vascular Properties" IEEE BME 14, 1967 (11 - 17).
- (4) LAXMINARAYAN, S.; SIPKEMAN,P.; WESTERHOF,N.: "Characterization of the Arterial System in the Time Domain" IEEE BME 24, 1978, (177 - 184).
- (5) CLARK,J.W.; LING,R.Y.S.; SRINIVASAN,R.; COLE,J.S.; PRUETT,R.C.: "A Two-Stage Idendification Scheme for the Determination of the Parameters of a Model of Left Heart and Systemic Circulation", IEEE BME 27, 1980 (20-29).
- (6) PAULSEN,R.A.; CLARK,J.W.; MURPHY,P.H.; BURDINE,J.: "Sensitivity Analysis and Improved Identification of a Systemic Arterial Model" IEEE BME-29, 1982 (164 - 178).
- (7) PAWEL,H.E.: "Experimental Investigation of Turbulence in the Context of Arterial Hemodynamics", 1974, Doktora Tezi.
- (8) PAWEL,H.E.; WILSON,C.: "Toward a Noninvasive Diagnosis of Disturbed Arterial Flow", Bulletin of the N.Y. Academy of Medicine, 1977 (693-701).
- (9) PEURA,R.A.; CORBEIT,W.; DEAN,L.; MEISNER,J.; JUNDANIAN,R.; and WHEELER,H.B. "Pulsed Doppler Frequency Spectrum Analysis Studies of Simulated Stenoses", Bioengineering, Proceedings of the Ninth Northeast Conference, 1981, (377 - 380).
- (10)WERFF,T.J.V.: "Significant Parameters in Arterial Pressure and Velocity Development". J. Biomechanics, 1974, (437 - 447).
- (11)RIDEOUT,V.C.; DICK,D.E.: "Difference-Differential Equations for Fluid Flow in Distensible Tubes", IEEE BME 14, 1967, (171 - 177).
- (12)CHANG,P.P.; MATSON,G.L.; KENDRICK,J.E.; RIDEOUT V.C.: "Parameter Estimation in the Canine Cardiovascular System", IEEE AC.19, 1974, (927 - 931).

- (13) OHLEY,W.J.; KAO,C.; JARON,D.: "Validity of an Arterial System Model: A Quantitative Evaluation" IEEE, BME.27, 1980, (203 - 211).
- (14) RIDEOUT,V.C.: "Cardiovascular System Simulation in Biomedical Engineering Education", IEEE, BME.19, 1972, (101 - 107).
- (15) WELKOWITZ,W.; MOLONY,D.; NGUYEN,T.: "An External Blood Flow Device", Bio-engineering Progc. of the Ninth Northeast Conference, 1981, (45 - 49).
- (16) KARADOĞAN,H. : "Pulsatif Akımda Yük Kaybı", Doktora Tezi, 1978.
- (17) SWANSON,W.M.; CLARK,R.E.: "Cardiovascular System Simulation Requirements", Journal of Bioengineering, 1977, (121 -133).
- (18) SWANSON,W.M.; CLARK,R.E.: "A Simple Cardiovascular System Simulator: Design and Performance", Journal of Bioengineering, 1977, (135 - 145).
- (19) REUL,H.: "Hydraulic Analog Model of the Systemic Circulation-Designed for Fluid Mechanical Studies in the Left-Heart and Systemic Arteries", Advances in Cardiovascuiar Physics, 1983, (43 - 54).
- (20) ÖZGÜR,C.: Deneysel Hidromekanik, İTÜ, 1980.
- (21) BUONCRISTIANI,J.F.; LIEDTKE,A.J.; STRONG,R.M.; URSCHEL,C.W.: "Parameter Estimates of a Left Ventricular Model During Ejection" IEEE, BME-20, 1973, (110-114).
- (22) TAVŞANOĞLU,V.: Devre Analizi Ders Notları, İ.T.Ü., 1979.
- (23) HAMMING,R.W.: Numerical Methods for Scientists and Engineers, 1973, (427 - 469).
- (24) KINARIVALA,B.; KUO,F.F.; TSAO,N.: Linear Circuits and Computation, 1973, (176 - 193).

T. C.
Yükseköğretim Kurulu
Dokümanlaşyon Merkezi